

WIADOMOŚCI METEOROLOGICZNE

wydawane przez Państwowy Instytut Meteorologiczny w Warszawie.

REVUE MÉTÉOROLOGIQUE

publiée par l'Institut Météorologique d'État à Varsovie.

WYKAZ TREŚCI.

	Str.
<i>A. B. Dobrowolski</i> : Zagadnienia ruchu powietrza i wody po nierównościach gruntu. (Zagadnienia wydm i zasp, mielizn i namulisk; zagadnienia wiatru halnego, chmur górskich, oraz linii śnieżnej). Część I. Referat wygłoszony w Warsz. Tow. Fizycznym dn. 10.III 1924	63
Biuletyn meteorologiczny.	
O przebiegu pogody w m. kwietniu 1924	72
Tablice temperatur średnich i skrajnych w Polsce w m. kwietniu 1924.	73
Wysokość opadów i liczby dni z opadem w miesiącu kwietniu 1924	73
Korespondencja Państwowego Instytutu Meteorologicznego.	
Wędrowka ważki czteroplamej	75
Ciekawy spadek gradu.	76
Przegląd literatury.	
<i>W. Niebrzydowski</i> : Nautisk-Meteorologisk Aarbog (Nautical-Meteorological Annual); 1923. København 1924. 76	
Bibliografja	78
Mapa opadów	80

TABLE DES MATIÈRES.

	Page
<i>A. B. Dobrowolski</i> : Problème du mouvement de l'air et de l'eau sur des accidents du sol. (Problème des dunes et des bas-fonds des rivières; problèmes du fon, des nuages de montagnes et de la ligne de neige). I-ère partie. Conférence donnée à la Société de Physique à Varsovie le 10.III. 1924	63
Bulletin Météorologique.	
Résumé climatologique du mois d'Avril 1924	72
Tables des températures moyennes et extrêmes en Pologne au mois d'Avril 1924	73
Précipitations en mm et les nombres des jours avec précipitations au mois d'Avril 1924	73
Correspondance de l'Institut Météorologique d'Etat à Varsovie.	
Migration de la <i>Libellula quadrimaculata</i>	75
Curieuse chute de grêle	76
Revue de la littérature.	
<i>W. Niebrzydowski</i> : Nautisk-Meteorologisk Aarbog (Nautical-Meteorological Annual), 1923. København 1924. 76	
Bibliographie	78
Carte des précipitations	80

ANTONI BOLESŁAW DOBROWOLSKI.

Zagadnienie ruchu powietrza i wody po nierównościach gruntu.

(Zagadnienia wydm i zasp, mielizn i namulisk; zagadnienia wiatru halnego, chmur górskich oraz linii śnieżnej). Referat wygłoszony w Warszawskim Towarzystwie Fizycznym d. 10.III. 1924 r.

Problème du mouvement de l'air et de l'eau sur des accidents du sol.

(Problème des dunes et des bas-fonds des rivières; problèmes du fon, des nuages de montagnes et de la ligne de neige).

Conférence donnée à la Société de Physique à Varsovie le 10.III. 1924.

W s t ę p.

Punktem wyjścia i tłem mego referatu jest ten fakt banalny, że powierzchnia ziemi jest *nierówna*. Grunt łądów — to układ wzniesień i spadków, garbów i zagłębień, przedmiotów sterczących i jam, wszelkiej możliwej postaci i wszelkich rozmiarów, od ziarenka żwiru aż do Himalajów. Powierzchnia morska — to zmienny układ fal różnej a zmiennej postaci i wielkości.

Otóż wszystkie prawie te urozmaicenia powierzchni — to tyleż *przeszkód* dla prądów powietrza lub prądów wody. W pobliżu tych przeszkód — na ich poziomie i po nad niemi, aż do pewnej wysokości — prądy te ulegają określonym, swoistym *modyfikacjom*.

Modyfikacje te będą, oczywiście, rozmaitego stopnia i rozmaitej postaci, zmienne w przestrzeni i czasie, gdyż zależne od kształtu, wielkości, orientacji i ugrupowania przeszkód, zarówno jak od szybkości prądu. Polegać zaś będą przedewszystkiem na odkształceniach linii prądowych — na powstawaniu ognisk ich zbieżności i rozbieżności, więc miejscowych maximów i minimów szybkości, i na wytwarzaniu w ten sposób rozmaitych *fal wymuszonych* (fal stojących), — prócz tego, na rozczłonkowaniu się linii prądowych, wewnątrz tych fal, na rozmaite układy swoistych *wirów wymuszonych* („przeszkodowych“).

W ten sposób, *warstwa przyziemna atmosfery* (i wód bieżących) — warstwa o bardzo różnej, miejscami bardzo znacznej grubości, stanowi warstwę *dynamicznie odrębną*, ożywioną ruchem o *postaci swoistej*. Ten fakt wystarcza, by warstwę tę przyziemną wziąć w rachubę, aby traktować ją *osobno*, badać *osobno*; by prawa ruchu tej warstwy starać się wykryć.

Kwestja to nietylko interesująca i ważna sama w sobie i w swej ogólności, lecz i stąd jeszcze, że związane są z nią, jako części z całością, *kwestje szczególne*, wzbudzające specjalne zainteresowanie i mające specjalną wagę naukową, a nawet praktyczną. Co się tyczy *hydrologji*, to możnaby może wątpić o zbyt wielkiej doniosłości, nawet naukowej, sprawy krążenia wody po porożach (kataraktach); jednak nie można wątpić o ważności — i naukowej, i praktycznej — zagadnienia o mechanizmie tworzenia się i rozwoju namulisk i mielizn. Co się zaś tyczy *meteorologji*, to mamy tu cały szereg problemów pierwszorzędnej wagi. Z jednej strony — tworzenie się *wydm*, zarówno wymuszonych przez przeszkody — t. zw. zasp piaszczystych i śnieżnych, — jak i wydm swobodnych (gdyż te stają się same przeszkodami w chwili powstawania)—zagadnienie tak ważne dla geografji fizycznej; z drugiej strony—*meteorologja góraska* i cały szereg specjalnych górskich problemów: kwestja *dolnej granicy wiecznych śniegów*; *chmury górskie*, stojące i wędrownne; wreszcie zagadka *wiatru halnego* i zjawisk mu towarzyszących — t. zw. *zjawisk fenowych*; wszystkie te zagadnienia sprowadzają się do zagadnienia ruchu powietrza po nierównościach gruntu.

Otóż w tych wszystkich sprawach dotąd panuje mrok. Można powiedzieć, że *naukowo* nie były one dotychczas wcale traktowane.

Nie można wprawdzie powiedzieć, by nie badano wogóle *zjawisk*, które przed chwilą wymieniliśmy. Owszem. Inżynierowie badają wszak mielizny rzeczne. Meteorologowie i geografowie fizyczni badają zasy i wydmy, badają chmury górskie, zarówno jak warunki linji śnieżnej; a literatura, dotycząca wiatru halnego, tak już jest obfita, że możnaby z prac o zjawiskach fenowych sporządzić wcale ładną biblioteczkę.

Ale brak jest zupełny *teorji naukowej*.

Jest to poprostu zastanawiające, jak pierwotnem, jak prostaczo-najwnem tłómaczeniem obywają się badacze tych zjawisk. Nawet gdy uda im się dostrzec, na drodze obserwacji bezpośredniej, jakiś szczegół formy ruchu, o którym mowa, — tłómaczą go sobie zbyt „poprostu“, zbyt „zdrowym chłopskim rozumem“.

Oto kilka przykładów:

Ten i ów zauważył, że podczas zamieci śnieżnej lub piaszczystej, piasek lub śnieg wirują z przodu przeszkody. Wir ten *A. H a m b e r g*, wybitny geograf szwedzki, tłómaczy sobie tak, że prąd w zetknięciu z przeszkodą rozbija się na cztery gałęzie: prawą, lewą, górną i dolną, — dolna nie może się wymknąć dołem, bo zatrzymana jest przez grunt, więc się „zawija“ — i tworzy wir; zaś *St a f f*, znany geograf-alpinista i badacz wydm, inaczej nieco sobie ów wir tłómaczy: prąd, trafiając na przeszkodę, ma „odbijać się“ od niej, a hamowany w tem odbiciu, zmuszony jest do wirowania...

Powszechnie zaś zauważono inny wir, z tyłu przeszkody; ten wir zazwyczaj objaśniają sobie tem, że z tyłu przeszkody powstaje depresja; dlaczego powstaje depresja, to sobie tłómaczą np. tak: z przodu przeszkody nagromadza się powietrze, z tyłu zaś powstaje jego deficyt.. Lub, np., tenże *H a m b e r g* zauważa ciekawe zjawisko: oto stromy spadek równiny, ku któremu wieje wiatr panujący; tuż za krawędzią ściany, na wyżynie, czasami również tuż przed krawędzią, na ścianie urwiska, bieleje wał śniegu, chociaż zdawałoby się, że wiatr powinien go przecieź zmieść; otóż *H a m b e r g* przypuszcza, że prąd powietrza „przeskakuje“ przez krawędź, że ją „omija“, — i nawet daje tego „przeskoku“ rysunek schematyczny...

Widzimy więc, jak rzecz stoi, a przyczyna tego stanu rzeczy jest następująca:

Jest oczywiście, że aby móc wogóle mówić o ruchu powietrza lub wody po nierównościach

gruntu, i aby móc kusić się o jakieś tłumaczenie zjawisk, od tego ruchu zależnych, należy przede wszystkim rozwiązać następujące zadanie z hydrodynamiki: *dana jest przeszkoda na podłożu prądu, wyznaczyć deformację prądu, to znaczy formę ruchu dokoła przeszkody.*

Otóż to zagadnienie dotychczas nie jest rozwiązane. Jest nawet *nietknięte*, gdyż nie było nawet, o ile wiem, stawiane przez hydrodynamikę. Mimo że stykamy się z niem, jak to podkreślaliśmy, ciągle i wszędzie na całej powierzchni ziemi; mimo iż leży ono u podstawy zjawisk ziemskich bardzo powszechnych i bardzo ważnych, — nie interesowało przecież hydrodynamików.

Inne bowiem zagadnienie interesowało uczonych i techników: zagadnienie przeszkody *swobodnie* w prądzie zawieszony, czyli zagadnienie ciała poruszającego się wewnątrz płynu. A i tutaj, przede wszystkim interesują się sprawą *oporu* — chodzi wszak o torpedy i łodzie podwodne, o pociski powietrzne i samoloty, — podczas, gdy sprawa morfologii ruchu, rozkładu kierunków i szybkości dokoła przeszkody — sprawa, co nas tutaj przede wszystkim obchodzi — jest raczej zaniedbana. Zresztą, pomimo iż problem przeszkody swobodnej absorbował już ludzi od bardzo dawna, to jednak poważne jego pchnięcie naprzód — dla płynów rzeczywistych, to znaczy lepkich — datuje się od bardzo niedawna — od czasu ogłoszenia prac Kármána (w 1911 r.) i Prandtla (w 1913 r.), co ustaliły pojęcie *warstwy wirowej* i pojęcie *oderwania*¹⁾.

CZĘŚĆ PIERWSZA.

Przedtem zanim spróbujemy dotknąć zagadnienia, o które nam idzie: zagadnienia *przeszkody sprzężonej z podłożem*, musimy sobie zdać sprawę z tego, co wiemy dziś o formie ruchu płynu dokoła *przeszkody swobodnej*, ten bowiem problem jest nie tylko naszemu pokrewny, ale nawet ogólniejszy, a jest już jako tako obrobiony i teoretycznie i doświadczalnie. Sporo już faktów odnośnych otrzymało się, jako wnioski z teorii Kármána-Prandtla (opartej na pojęciu powierzchniowej „warstwy wirowej” i na pojęciu oderwania), potwierdzone przez doświadczenia, lub jako wyniki doświadczeń, uzgadniane z teorią. Uzupełniłem je kilku faktami, wypływającymi z tejże teorii, na które nie zwrócono uwagi, gdyż — jak mówiłem już — na morfologję ruchu wogóle nie kładziono wielkiego nacisku — tyle tylko, ile trzeba jej było w związku z zagadnieniem *oporu*.

Ponieważ wszystkie te wyniki teoretyczne i doświadczalne, rozproszone w nowszej literaturze, nie są jeszcze nigdzie w całości zebrane, pozwolę więc sobie tutaj ująć je pokrótce w pewną całość. Będzie to tylko kwintesencja — dogmatyczny konspekt samych wyników, bez odnośnych uzasadnień, więc i bez wzorów.

* * *

Fizjonomja ruchu płynu dokoła przeszkody swobodnej (wzgl. dokoła poruszającego się ciała) zdaje się zależeć przede wszystkim od zespołu następujących trzech wielkości: 1) lepkości kinematycznej ν (lepkości w stosunku do gęstości), 2) szybkości v , 3) wymiarów linjowych przeszkody a , — czyli od wartości t. zw. liczby Reynoldsa $\left(\frac{va}{\nu}\right)$. Jednak postać ruchu okazuje się jeszcze zależną od różnych szczegółów *formy* przeszkody. To sprawia, że niełatwym jest wyznaczenie jednoznaczne „krytycznych” wartości liczby Reynoldsa (zarówno jak „krytycznej” szybkości, „krytycznej” lepkości kinematycznej, „krytycznych” wymiarów linjowych), że więc niełatwą jest rzeczą podanie rzetelnej klasyfikacji postaci ruchu, o których mowa.

Jaką jednak klasyfikację podać tu jestem zmuszony, gdyż jest mi ona, oczywiście, nieodzowna do wykładu. Wyróżniam więc dwie fizjonomie ruchu „skrajne”, zupełnie określone, połączone ze sobą „*pasem przejściowym*” postaci pośrednich.

1) Powyżej pewnej granicznej wartości ν (powyżej „górnjej” lepkości krytycznej), lub poniżej pewnej granicznej wartości a (poniżej „dolnego” wymiaru krytycznego), lub wreszcie poniżej pewnej granicznej wartości v (poniżej „dolnej” szybkości krytycznej), wogóle: *poniżej* pewnej wartości liczby

¹⁾ Kármán, Ueber den Mechanismus des Widerstandes, den ein bewegter Körper in einer Flüssigkeit erfährt. Nachr. Kön. Gesell. d. Wissensch. zu Göttingen, 1911, Heft 5, pp. 509 etc.

Prandtl, Abriss der Lehre von der Flüssigkeits- und Gasbewegung, Jena, 1913.

Reynoldsa, ruch płynu dokoła przeszkody będzie kształtowany *wyłącznie przez lepkość*; i jakkolwiek będzie kształt ciała, jakkolwiek krzywizna jego konturu, nigdy tu nie będzie burzliwości, nigdy nie będzie wirów — ani niestatecznych, ani statecznych.

2) Poniżej pewnej granicznej wartości v (poniżej „dolnej” lepkości krytycznej), lub powyżej pewnej granicznej wartości a (powyżej „górnego” wymiaru krytycznego), lub wreszcie powyżej pewnej granicznej wartości v (powyżej „górnjej” szybkości krytycznej), wogóle: *powyżej* pewnej wartości liczby Reynoldsa, ruch płynu dokoła przeszkody będzie kształtowany prawie wyłącznie przez *oderwanie* (chyba że kształt ciała będzie „kształtem prądowym”, czyli, że krzywizna jego konturu nie przekroczy pewnej granicy), które to oderwanie będzie *zupełne*, to znaczy, że z tyłu przeszkody ciągnąć się będzie smuga burzliwa z *wirów niestatecznych, wędrownych* (fig. 1).

3) Pomiedzy temi skrajnymi fizjonomjami ruchu, zupełnie określonymi, a więc w warunkach — lepkości, czy też wymiarów linjowych, czy wreszcie szybkości — pośrednich pomiędzy warunkami krytycznymi „dolnymi” a „górnymi”, — będziemy mieli najróżniejsze *pośrednie* postaci ruchu. Tak np., lepkość kinematyczna może być zawięzka, lub wymiary linjowe niewystarczające, lub wreszcie szybkość niedostateczna, iżby wiry odrywały się od przeszkody zupełnie, i zamiast łańcucha zmiennych wirów niestatecznych, wędrownych, ustali się wtedy *wir stateczny*, przywiązany do tyłu przeszkody (fig. 2).

Z pośród dwóch wskazanych fizjonomij skrajnych, pierwsza, wyznaczana wyłącznie przez lepkość, jest dotychczas jeszcze wciąż postacią teoretyczną — postulatem, gdyż nie jest zilustrowaną dotąd żadnem doświadczeniem, a w naturze prawie się nie spotyka. Druga zaś skrajna postać, wyznaczona przez oderwanie, zdaje się być panującą w naturze. Trudno jednak jest wyznaczyć granice, oddzielające tę postać skrajną od pasa przejściowego — pasa postaci pośrednich, może równie częstych w naturze; to znaczy, iż trudno jest ustalić „dolną” lepkość krytyczną (dla danych wymiarów i danej szybkości), lub „górną” wymiar krytyczny (dla danej lepkości kinematycznej i danej szybkości), lub wreszcie „górną” szybkość krytyczną (dla danej lepkości kinematycznej i danych wymiarów). A to dlatego, że graniczna ta wartość — jak to już wzmiankowaliśmy wyżej — okazuje się zależna od różnych szczegółów kształtu przeszkody, między innymi od *stopnia krzywizny* konturu. Mianowicie, jeżeli zwiększać stopniowo szybkość ciała o danych wymiarach i o krzywiznie konturu silniejszej od krzywizny dozwolonej dla kształtu prądowego, w płynie o danej lepkości kinematycznej, wtedy przekroczenie „górnjej” szybkości krytycznej, to znaczy: przejście z pasa postaci pośrednich do postaci skrajnej z wirami wędrownymi, nastąpi tem wcześniej, im krzywizna konturu będzie silniejsza, szczególnie więc ułatwione będzie przez ostre krawędzie, a najwcześniej nastąpi, oczywiście, gdy ciało będzie miało kształt cienkiej płyty poprzecznej względem kierunku ruchu. Z tem zastrzeżeniem, i zakładając stałe v i a , rozpatrzmy naprzód, zupełnie pobieżnie, pierwszą postać skrajną ruchu (poniżej „dolnej” szybkości krytycznej), następnie — bardziej szczegółowo — drugą skrajną postać (powyżej „górnjej” szybkości krytycznej), przy której omawianiu potrąćmy także o pewne postaci pośrednie.

A.

Pierwszy wypadek skrajny: szybkość poniżej szybkości krytycznej „dolnej”.

W tym wypadku — doświadczalnie jeszcze niezbadanym — którego zasadniczem znamieniem wyróżniającem jest zwykły *opór lepkości* (opór styczny, opór powierzchniowy) *proporcjonalny do pierwszych potęg szybkości* — niemasz jeszcze dokładnego zróżnicowania płynu na prąd właściwy i na powierzchniową *warstwę wirową*, wyraźnie wyodrębnioną w postaci układu cienkich wałeczków wirowych, toczących się po powierzchni ciała: cała masa płynna objęta jest powolnym ruchem wirowania — toczenia się po powierzchni. Wykluczone więc jest, oczywiście, odrywanie się warstwy wirowej, tem samem — wszelka burzliwość. Oblicze ruchu płynu lepkiego dokoła przeszkody podobnem się staje, w tym wypadku, do ruchu płynu teoretycznego nielepkiego — tem mianowicie, że *jakkolwiek kształt* będzie miała przeszkoda, będzie ona zawsze *ciałem linii prądowych* — krócej mówiąc: *ciałem prądowym*, to znaczy, że układ linii prądowych zawsze się będzie umiał do wszelkiego kształtu ściśle dopasować, że powierzchnia ciała zawsze będzie powierzchnią linii prądowych, — krócej: *powierzchnią prądową*.

Ponieważ ruchy powietrza i wody, spostrzegane w naturze, prawie zawsze są powyżej owej dolnej granicy krytycznej, — ten więc wypadek nas tutaj nie obchodzi²⁾.

B.

Drugi wypadek skrajny: szybkość powyżej szybkości krytycznej „górnjej”.

W tym wypadku — którego charakterystyką jest *opór*, również pochodzący, ostatecznie, z lepkości, ale *proporcjonalny do kwadratów szybkości* albo w *przybliżeniu* (w wypadku braku oderwania, to znaczy w wypadku ciała prądowego: opór lepkości, opór styczny), albo *ściśle* (w wypadku oderwania, to znaczy w wypadku ciała *nieprądowego*: opór oderwania, opór dynamiczny) — ruch wirowania i toczenia się po powierzchni bardzo wyraźnie się wyodrębnia, ograniczając się do cienkiej *warstwy wirowej*, to znaczy do układu cienkich *walczków wirowych*, spółprzyległych, prostopadłych do kierunku ruchu i *toczących* się po powierzchni przeszkody w kierunku prądu. *Grubość* tej warstwy wirowej (to znaczy: średnica wałków wirowych) jest w *odwrotnym stosunku do szybkości*. Dla powietrza — według wyznaczeń *Ž u k o w s k i e g o*³⁾ — szybkościom: 1, 5, 10, 20, 30 cm/sek, odpowiadają grubości warstwy wirowej: 10, 2, 1, 0·5, 0·3 mm.

Poza temi cechami ogólnymi, ruch płynu w pobliżu przeszkody przybiera dwa bardzo różne oblicza zależnie od tego, czy warstwa wirowa *odrywa się* od powierzchni, czy też się *nie* odrywa.

To zaś zależy od tego, czy przeszkoda nie jest, czy jest *ciałem prądowym*.

A to znowu zależy, *w tym wypadku*, od pewnych *granicznych* właściwości kształtu przeszkody — mianowicie od pewnych granic *krzywizny* jej ogólnego konturu, jej ogólnego *profilu* wziętego równoległe do ruchu — od tego, czy ta krzywizna przekracza, czy nie przekracza pewnej granicznej wartości.

Bardziej szczegółowe warunki, którym ma odpowiadać kształt ciała prądowego w cieczy lepkiej przy szybkości większej od krytycznej, dadzą się streścić — zdaje mi się — jak następuje:

1) Ciało ma być *wydłużone* w kierunku ruchu.

2) *Symetria* względem osi podłużnej, lub względem płaszczyzn przechodzących przez tę oś, nie jest warunkiem koniecznym. Przykład: ciało ryb, spłaszczone z dwóch boków i niesymetryczne względem płaszczyzny poziomej.

Nie wymagana jest też wcale symetria względem największego przekroju poprzecznego. Czoło może być bez porównania bardziej krępe od tyłu. Przykład: skrzydło ptaka.

3) Im większa jest *lepkość kinematyczna* płynu, tem na silniejszą krzywiznę pozwolić sobie może ciało prądowe. Przykład: dobrzy pływacy pośród *ryb* mają ciało o wiele *smuklejsze* od dobrych latawców pośród *ptaków*⁴⁾ — powietrze jest *14 razy* więcej lepkie od wody.

4) Wreszcie, najmniejsze zniekształcenie formy ciała prądowego, to znaczy: najmniejsze przekroczenie krzywizny dozwolonej, może wystarczyć do przemiany tego ciała na ciało nieprądowe, to znaczy do oderwania się warstwy wirowej i do burzliwości. Burzliwość ta w szybkościach względnie małych może być tak niewyraźna, że nie da się stwierdzić, — uwidoczniając się jednak w szybkościach większych. Dobrą tego ilustrację znalazłem w pięknym zbiorze zdjęć *Ahlborna*⁵⁾. Są tam dwie fotografie, uwidoczniające profil ruchu wody dokoła tego samego modelu torpedy, ale przy dwóch różnych szybkościach. (Różnicy tej sam *Ahlborn* nie zauważył, gdyż na to nie zwrócił uwagi).

I. Wypadek ciała prądowego

(o krzywiznie ogólnego konturu nie przekraczającej pewnej granicy, np. ciało kształtu cygara).

W tym wypadku *nie* masz oderwania się warstwy wirowej. Warstwa ta ma wtedy postać cienkiej *pochwy wirowej*, przylegającej ściśle do ciała we wszystkich punktach powierzchni.

²⁾ Zato zwrócę nawiasem uwagę, że pogłębiona analiza tego wypadku, — dla której punktem wyjścia byłyby wzory podane w § 323 Hidrodynamiki Lamba w III wydaniu, — miałyby pierwszorzędne znaczenie dla *teorii ruchu lodowców*.

³⁾ *Joukowski, Aérodynamique*, trad. de russe par S. Drzewiecki, Paris 1916 (kurs wykładany w uniwersytecie moskiewskim).

⁴⁾ Por. *Lanchester, Aérodynamik*, przekł. niem., wstęp.

⁵⁾ *Ahlborn, Ueber den Mechanismus des hydrodynamischen Widerstandes*. 34 fotografie. Hamburg, daty wydania na egzemplarzu nie znalazłem.

Ponieważ szybkość w pobliżu powierzchni w różnych miejscach będzie różna — *maxima* u ogniska zbieżności linii prądowych, to znaczy: pośrodku u największego przekroju poprzecznego, *minima* u samego czoła i w samym tyle, u ognisk rozbieżności linii prądowych; ponieważ z drugiej strony wiemy, że grubość warstwy wirowej jest w odwrotnym stosunku do szybkości; wynika stąd, że pochwa wirowa, względnie gruba na samym przodzie, cienieć będzie ku największemu przekrojowi poprzecznemu, skąd znowu będzie grubiała ku tyłowi.

Pochwa ta składać się będzie z wałków wirowych, obejmujących ciało — to znaczy: z *obręczy wirowych* (podobnych do kółek dymu z papierosa), prostopadłych do kierunku ruchu, toczących się po powierzchni w kierunku ruchu prądu. W chwili powstania u czoła przeszkody, każda obręcz wirowa jest względnie gruba, a otwór ma minimalny i szybkość ruchu minimalną. W miarę jak toczy się ku miejscu największego przekroju, toczy się coraz szybciej, staje się coraz cieńsza i coraz szersza. Z tego zaś miejsca toczy się coraz wolniej, staje się coraz grubsza i coraz węższa. Gdy przeszkoda nie jest ciałem obrotowym, jedna i ta sama obręcz bywa, oczywiście, niejednakowo gruba w różnych punktach obwodu: np. pochwa wirowa, otaczająca ciało ryby poruszającej się w wodzie, będzie naogół grubsza na brzuchu, bardziej płaskim, niż na grzbiecie, bardziej wypukłym, — a najgrubsza będzie na bokach, jako najbardziej spłaszczonych. *Gwałtowne zmiany grubości* w kierunku od największego przekroju ku tyłowi są *wykluczone*, gdyż niemasz w tym kierunku gwałtownych zmian w szybkości — a to dlatego, że w konturze podłużnym ciała prądowego nie może być zbyt silnej krzywizny. W *czołowej* zaś części, ku największemu przekrojowi, krzywizna może być sobie silna, więc i zmiana grubości pochwy może być sobie gwałtowna.

Poza cienką pochwą wirową, ruch płynu nie ulega żadnemu zaburzeniu, a układ linii prądowych dopasowany jest dokładnie do konturu ciała — ściśle mówiąc: do zewnętrznej powierzchni pochwy wirowej.

Co do *oporu*, to doświadczenie zarówno jak rachunek uczą, że wzrasta on w *przybliżeniu* do kwadratów szybkości, — wzrastając w *przybliżeniu* w stosunku odwrotnym do grubości pochwy wirowej, która to grubość, jak wiemy, zmienia się w stosunku odwrotnym do szybkości.

Co zaś do *energji*, zużywanej na pokonanie tego oporu (będącego tutaj wyłącznie zwykłym oporem lepkości, oporem stycznym), to zatracą się ona, oczywiście, odrazu w *postaci ciepła*.

Wypadek ciała prądowego jest, oczywiście, wypadkiem bardzo szczególnym. W naturze, spotykamy kształty prądowe *systematycznie* tylko wśród organizmów żywych, przystosowanych do pływania lub lotu.

Bardziej więc dla nas interesującym jest:

II. Wypadek ciała nieprądowego

(o krzywiznie ogólnego konturu przekraczającej pewną granicę, np. ciało kształtu płyty).

W tym wypadku mamy do czynienia z *oderwaniem* się warstwy wirowej. Oderwanie to prowadzi za sobą:

- 1) burzliwość — to znaczy niestateczność ruchu w postaci ciągnącej się za ciałem smugi burzliwej, czyli *obszaru oderwania*, utworzonego przez układ *wędrownych wirów niestatecznych*;
- 2) nowy rodzaj oporu — opór dynamiczny, t. zw. *opór oderwania*, — o wiele znaczniejszy od zwykłego oporu lepkości — oporu stycznego.

1. *Mechanizm oderwania* jest następujący:

Przekroczywszy miejsce największego przekroju poprzecznego — miejsce największej szybkości, — dana obręcz wirowa natrafia na *zbyt silną krzywiznę* — na zbyt wielki spadek powierzchni, cechujący ciało nieprądowe. Przez to, ruch tej obręczy wirowej (ruch toczenia się) ulega mniej lub więcej *gwałtownemu zwolnieniu*. To zaś gwałtowne zwolnienie powoduje podmywanie przez prąd i wreszcie *oderwanie* się obręczy wirowej od powierzchni ciała, — lub nawet *całej spójnej paczki takich obręczy* — i popłynięcie jej w dal. Napływające kolejno, toczące się po powierzchni obręcze wirowe kolejno się odrywają w tem samym miejscu, jedno za drugim, tworząc z tyłu ciała łańcuch obręczy swobodnie płynących — *układ wirów niestatecznych*, wirów wędrownych. Podkreślamy tu dwie rzeczy, które nam się później bardzo przydadzą: 1) *bezpośrednią* przyczyną oderwania nie jest zbyt silna krzywizna konturu, lecz zbyt gwałtowne *zwolnienie ruchu* obręczy wirowych; można więc

pomyśleć sobie oderwanie, wywołane nie koniecznie przez zbyt silną krzywiznę, lecz przez jakieś inne okoliczności; 2) mogą się odrywać nie tylko pojedyncze obręcze, ale i całe ich spójne *paczki*.

2. Tak się odbywa odrywanie się wirów składowych warstwy wirowej.

Rozpatrzmy teraz ich ruch oraz ich *układ* (fig. 1).

Oderwawszy się od powierzchni ciała, obręcze wirowe pędzą sobie w dal wraz z prądem. Toczyły się przedtem po przeszkodzie w kierunku prądu, teraz się toczą *po otaczającym je prądzie*, więc „do góry nogami”, zatem w kierunku *przeciwным* — ku przeszkodzie; jednocześnie jednak unieszone są przez prąd, — ostatecznie więc biegną w *kierunku prądu*, ale *wolniej od prądu*. W miarę oddalania się od ciała, obręcze wirowe, wskutek lepkości, stopniowo rozpraszają swoją energję, wyczerpują się, aż wreszcie — na pewnej odległości — *zanikają jako takie* i przechodzą w normalny układ linii prądowych (fig. 1).

Co się tyczy ich *układu*, te wiry niestateczne układają się w porządek określony i bardzo swoisty: w tak zw. „łańcuszek Kármána”. Jak się przedstawia to ich ustosunkowanie wzajemne *w trzech wymiarach*, tego dokładnie i pewnie się nie wie. Obserwuje się „łańcuszek Kármána” w *profilu*, rysowanym np. przez pył Lycopodium na powierzchni cieczy, w której zanurzone jest ciało; z obręczy wirowej widzi się zatem tylko *jej przekrój w płaszczyźnie równoległej do ruchu*, to znaczy: profile dwóch przeciwległych gałęzi obręczy—*dwa obrazy wirowe* widziane po dwóch bokach profilu ciała. Otóż te dwa profile zdają się nie odrywać *jednocześnie* od ciała; znajdują się bowiem nie w płaszczyźnie prostopadłej, lecz w płaszczyźnie *ukośnej* do kierunku ruchu — są *asymetryczne*, a jeśli rozpatrywać profile *całego układu* wirów, wtedy stwierdza się, że profile te zajmują *wierzchołki prawidłowej linii łamanej* — to znaczy: że profile prawe i profile lewe pędzą w dwóch regularnych łańcuchach, prawym i lewym, — dwiema t. zw. *drogami wirów*, prostymi i równoległymi, ułożone *niesymetrycznie*, — a stosunek między odległością wzajemną tych dwóch dróg, a odległością wzajemną dwóch kolejnych profilów na tej samej drodze, okazuje się *stały*, równy 2,806.

Doświadczenia, które uwidaczniają łańcuszek Kármána, robiono z ciałami postaci bardzo szczególnej: z cienkimi prętami poprzecznymi do kierunku ruchu. W tym szczególnym wypadku, obręcze wirowe tak są *splaszczone*, że praktycznie nie są to już obręcze, lecz prosto dwa równoległe układy, prawy i lewy (czy też górny i dolny) *prostoliniowych wałków wirowych*, poprzecznych do kierunku ruchu, posuwających się w kierunku prądu.

W pięknym zbiorze A h l b o r n a ⁶⁾ udało mi się jednak znaleźć bardzo ładne zdjęcie łańcuszka Kármána, z tyłu ukośnej płyty czworobocznej—więc zdjęcie profilu właściwych obręczy wirowych, — wprawdzie tylko początek łańcuszka—dwa obrazy wirowe na górnej drodze wirów, jeden obraz wirowy na drodze dolnej — ale bardzo wyraźne, dobrze wykształcone. (Sam A h l b o r n tego nie zauważył: zdjęcia swe robił nadługo przed zjawieniem się odkryć Kármána.

3. Profile te pozwalają nam mniej więcej odcyfrować *całość obszaru oderwania*, ciągnącego się z tyłu ciała w postaci smugi burzliwej.

Obszar ten ma postać *cyindra wydłużonego* w tył w kierunku ruchu, o przekroju odpowiadającym przekrojowi przeszkody w miejscu oderwania. Składa się on z części obwodowej i z części osiowej.

Część obwodowa utworzona jest przez *układ wirów niestatecznych*, wędrownych, wraz z ich atmosferami. Kontur zewnętrzny, zarówno jak kontur wewnętrzny tej pochwy będzie zatem *falisty*, a falistość ta będzie, oczywiście, wciąż *zmienna* i — jak to widzieliśmy z profilów — *asymetryczna*. Wynika stąd, że przylegająca część otaczającego prądu (po której toczą się wiry), zarówno jak część wewnętrzna, osiowa samego obszaru, będą przez wiry te wprawione w *ruch falisty*.

Część osiowa obszaru oderwania, ograniczona przez wewnętrzne skręty wirów, skierowane w kierunku przeciwnym prądowi, przedstawia *strumień osiowy* — poruszający się także w kierunku prądu, ale z szybkością, oczywiście, *jeszcze mniejszą* od wirów, a *wzdłuż samej osi* obszaru (ob. fig. 1) szybkość wypadnie *najmniejsza*.

Cylindryczny ten obszar oderwania, z *przodu* ograniczony przez przeszkodę (z której bocznych powierzchni wciąż się odnawia), z *boków* ograniczony przez prąd, — z *tyłu* niema i mieć nie może *wyrażonej granicy*. Wiry bowiem wędrowne wyczerpują się i wyrodniają po drodze *stopniowo*; różnice więc, dynamiczne i morfologiczne, pomiędzy obszarem oderwania a porządkiem normalnym

⁶⁾ l. c.

otaczającego prądu, zmniejszają się w kierunku od przodu ku tyłowi obszaru stopniowo, i układ wirowy przechodzi *nieuchwytnie* w układ normalnych linii prądowych (fig. 1).

4. Tak się przedstawia schemat *morfologii* obszaru oderwania.

Co się tyczy *oporu*, to zjawia się tu opór *nowy*, różny od zwykłego oporu lepkości, pochodzący *ostatecznie* — oczywiście z lepkości, bezpośrednio jednak — z faktu oderwania: opór *oderwania*, opór *dynamiczny*.

Zaraz przed miejscem oderwania — w ognisku zbieżności linii prądowych — panuje maximum szybkości, więc *minimum ciśnienia*; a w obszarze oderwania za ciałem panuje *ciśnienie, równe ciśnieniu w miejscu oderwania*. Wytwarza się więc znaczna *różnica ciśnienia* z przodu a z tyłu przeszkody, tem samem zaś wypadkowa sił, działająca w kierunku ruchowi przeciwnym, jest tu, *ceteris paribus*, o wiele większa, niż w wypadku ciała prądowego. Dlatego w wypadku ciał *nieprądowych* wypada się liczyć praktycznie tylko z oporem oderwania, wobec którego opór styczny (bezpośrednio wytwarzany przez lepkość) staje się znikomym. Ponieważ czynnikiem jest tu ciśnienie, więc opór oderwania wzrasta w prostym stosunku do kwadratów szybkości *ściśle*, nie zaś w przybliżeniu. Odpowiednio do tego *energia*, zużywana na pokonanie oporu oderwania, nie zatraci się od razu w cieple, lecz *zachowaną zostanie w płynie w postaci kinetycznej*.

Na jeden szczegół, dotyczący *oporu*, należy zwrócić uwagę. Nieobojętną rzeczą są tu *wymiary* ciał, a zależność tę badano już dawniej (Stokes, Allen, Froude, zwłaszcza zaś Dines). Działanie w sprawie tej można powiedzieć co następuje:

- a) Przedewszystkiem, gdy wymiary linjowe ciała nie przekraczają grubości warstwy wirowej (odpowiadającej danej szybkości i danej lepkości kinematycznej), wtedy *nie może być mowy o oderwaniu*, bez względu na kształt geometryczny ciała; *opór* więc będzie *wyłącznie oporem lepkości, proporcjonalnym do pierwszych potęg szybkości*.
- b) Dla ciał *dostatecznie dużych*, a geometrycznie podobnych, zmiany oporu, zależne od wielkości, byłyby, w wypadku oderwania, w przybliżeniu *proporcjonalne do zmian w największym przekroju poprzecznym*; wskazują na to wyniki pomiarów (Eiffel, Getynga).
- c) Ciała *dostatecznie małe*, a geometrycznie podobne, odczuwałyby *opór lepkości* tem silniej, im ich wymiary byłyby drobniejsze; zaś dopóki nie nastąpiłoby oderwanie warstwy wirowej, — opór, w zależności od wymiarów, *wzrastałby w przybliżeniu proporcjonalnie do wzrostu powierzchni*; jest to prawdopodobne, lecz doświadczalnie jeszcze nie sprawdzone.
- d) W każdym zaś razie, to da się ogólnie powiedzieć, że ciało względnie *małe* liczyć się musi z *oporem lepkości*, zależnym od pierwszych potęg szybkości; ciało zaś *dostatecznie duże* może się liczyć, praktycznie, tylko z *oporem oderwania*, zależnym od kwadratów szybkości. Wynika stąd, że niezawsze można wyniki eksperymentów, dokonanych z małym modelem, przenosić na wypadki rzeczywiste w naturze lub technice — a doświadczenie zdaje się to potwierdzać zupełnie.

5. Podkreślę tu — bo to nam się przyda — *miejsce oderwania*.

Na oderwanie narażony bywa *wyłącznie tył* ciała, nigdy zaś jego *czoło*. Gwałtowne bowiem *zwolnienie* ruchu toczenia się wirów powierzchni (warunek oderwania) nastąpić może jedynie w miejscu, leżącym *za* największym przekrojem poprzecznym. Do części czołowej ciała linje prądowe potrafią zawsze dopasować się dokładnie (z wyjątkiem wypadku płyty ukośnej lub poprzecznej, w pewnych okolicznościach); a gdy przód jest *zanadto wklęsły*, wtedy nadmiar wklęsłości bywa zwyczajnie omijany przez linje prądowe, stając się *zatoką martwą*, utrzymującą się w swej stagnacji, nie wytwarzając wiru. Warstwa bowiem wirowa na samym przodzie dopiero się tam tworzy — tam dopiero jest jej początek.

6. W pewnych warunkach, nie dochodzi do wytworzenia obszaru oderwania, i zamiast układu wirów niestatecznych, wędrownych, otrzymuje się jeden *wir stateczny* (naogół w postaci obręczy wirowej), przytwierdzony na stałe do powierzchni przeszkody. Może on powstać z *tyłu* lub z *przodu* przeszkody.

a) *Wir stateczny tylny* zastępuje zwykłą smugę burzliwą, gdy zupełnemu oderwaniu przeszkadza bądź zbyt wielka lepkość kinematyczna płynu (przy danej szybkości i danych wymiarach), bądź zbyt małe wymiary linjowe (przy danej lepkości kinematycznej i danej szybkości), bądź zamała szybkość (przy danej lepkości kinematycznej i danych wymiarach linjowych). Ob. wyżej. Fig. 2.

b) *Wir stateczny przedni krawędziowy* tworzy się na bocznych ścianach ciał pryzmatycznych lub cylindrycznych z osią równoległą do kierunku ruchu, tuż za przednimi krawędziami (które niekoniecznie mają być ostre, a mogą być zupełnie zaokrąglone). Linje prądowe tworzą wtedy „garb“ zgoła miejscowy, odchylając się od powierzchni, na poziomie krawędzi przednich, tylko na pewnym kawałku, by wrócić do powierzchni zaraz za wirem statecznym. Oderwanie właściwe i wiry wędrownne zjawiają się wtedy za krawędziami tylnymi. Fig. 3.

Tworzy się tu wir stateczny, przytwierdzony do ciała, dlatego, że wirom niestatecznym, wędrownym, rozwinąć się przeszkadza obecność, za krawędziami przednimi, ścian bocznych pryzmatu lub cylindra, co zabierają miejsce obszaru oderwania, nie pozwalając mu się rozwinąć. Ale gdy pryzmat lub cylinder jest dostatecznie krótki, to znaczy mało wyciągnięty w kierunku ruchu, oderwanie zupełne wraz z wirami wędrownymi nastąpi właśnie tu, za krawędziami przednimi, a krawędzie tylne, znalazłszy się już w pasie oderwania, będą nieczynne. To samo będziemy mieli, gdy szybkość będzie bardzo wielka—zdolna „odczepić“ od ścian i pociągnąć za prądem dążący do oderwania wir stateczny.

Ten wir stateczny przedni krawędziowy — dotychczas nienotowany — stwierdza się bardzo powszechnie:

1) Za węglami ulic: wchodząc, podczas wiatru, w ulicę z placu otwartego, odczujemy, zaraz za krawędzią domu narożnego, wiatr dmący prosto w twarz, znacznie silniejszy od wiatru, który panuje na placu i który wiał nam w plecy: będzie to ów wir krawędziowy, po którego przejściu będziemy mieli znowu wiatr taki jak na placu, zrazu osłabiony (rozbieżność linii prądowych bezpośrednio za wirem), a potem wzmagający się stopniowo.

2) Z przodu u bocznych ścian filarów kamiennych mostu na rzece, za krawędziami pionowymi prawą i lewą, widać na powierzchni wody dwa dołki wirujące, płytkie i ledwie widoczne, gdy prąd jest słaby, potężne i głębokie, gdy prąd jest wartki — profile dwóch symetrycznych wirów pionowych, idących śrubą aż do dna, w którym napewno drążą pod filarem jamy podwodne.

3) Za krawędzią szczytową płaskowzgórza, spadającego stromem urwiskiem ku równinie niższej, skąd wieje wiatr ku płaskowzgórzu, musi tworzyć się wir poziomy, w postaci wału wirowego, kołującego w płaszczyznach pionowych. Gdy wiatr jest silny, wir taki może być niebezpieczny dla lotnika, jeżeli ten zbliży się do niego zanadto.

7. Po tem ogólnem zobrazowaniu morfologii ruchu dokoła przeszkody swobodnej, rozpatrzmy kilka najprostszych, elementarnych *wypadków szczególnych*, zaznaczając tylko znamiona najbardziej charakterystyczne.

a) *Cienka płyta prostopadła do prądu.*

Maksymalna krzywizna, więc maksymalna rozbieżność linii prądowych z przodu, i maksymalna ich zbieżność, przypadająca za krawędziami, w dość znacznej od nich odległości, gdzie linje prądowe znacznie się wypuklają nazewnątrz. Konsekwencje stąd wypływające łatwo jest przewidzieć.

Takaż płyta *styczna* do prądu. Wypadek osobliwy. Niemasz *obręczy wirowych*, jako składników warstwy wirowej. Są dwa układy, po dwóch stronach płyty, *walków wirowych prostoliniowych*, prostopadłych do ruchu. Dotoczywszy się do *krawędzi tylnej*, walki te odrywają się, naprzemian, to z jednej, to z drugiej strony, upakowując się w łańcuszek Kármána w smudze bardzo cienkie.

Takaż płyta *ukośna do prądu*. W profilu, jedna krawędź wysunięta wprzód, druga wtył. Zbieżność linii prądowych — więc przyśpieszenie ruchu — będzie silniejsze u krawędzi wysuniętej, niż u krawędzi cofniętej, a różnica ta wzmacniać się będzie wraz ze wzrostem kąta ukosu. Łatwo przewidzieć odpowiednie konsekwencje, dotyczące morfologii obszaru oderwania.

b) *Pryzmat lub walec, z osią w kierunku ruchu.*

Gdy dostatecznie *mało wydłużony* w kierunku ruchu — wtedy oderwanie nastąpi już u *przednich krawędzi*.

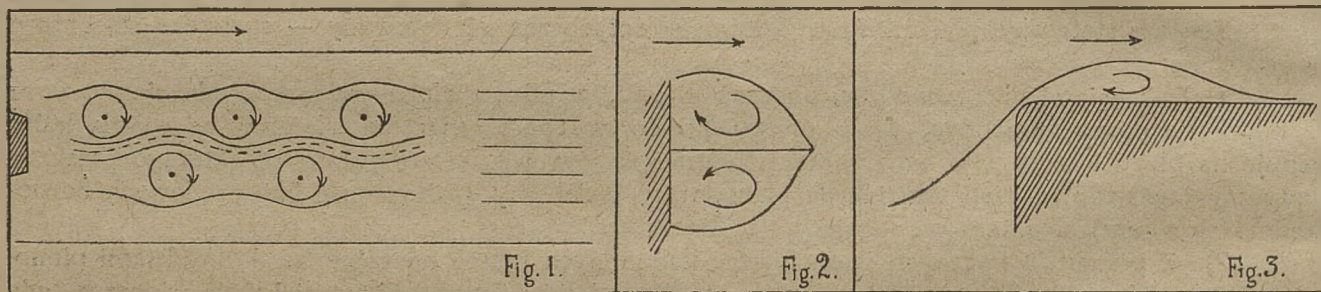
Gdy *dostatecznie wydłużony* w kierunku ruchu, wtedy za krawędziami przednimi utworzy się, — jak wiemy, — *wir stateczny przedni krawędziowy*, w postaci obręczy, przytwierdzonej do samego ciała (fig. 3); *oderwanie* zaś nastąpi dopiero *za krawędziami tylnymi* (ob. wyżej punkt 6, b).

c) *Walce z osią poprzeczną do ruchu i kula.*

Wbrew twierdzeniu Lanchestera, dokładne wyznaczenia manometryczne Żukowskiego¹⁾ wykazały, że *na kuli* oderwanie warstwy wirowej następuje już prawie *na samym największym przekroju poprzecznym*, podczas gdy *na walcu* — w dość *pokaźnej odległości* za największym przekrojem poprzecznym. W związku z tem stwierdza się, że *smuga burzliwa* za kulą bez porównania bywa krótsza, niż za walcem.

d) *Wreszcie — grupy przeszkód elementarnych.*

Najprostsza kombinacja: *dwie płyty*, poprzeczne do ruchu, ułożone na jednej linii poprzecznej do ruchu, dostatecznie do siebie zbliżone. Przez *bramę* między płytami wrywa się *strumień prądu wzmożonego* („strumień interwałowy”), tem *silniejszy*, ceteris paribus, im brama *węższa*. Albo toruje sobie drogę między dwoma obszarami oderwania, a wtedy wylewa się za nimi *rozbieżnie*, przybierając szybkość *poniżej* normalnej szybkości prądu, — albo utyka po drodze, ginąc w wirach obszarów oderwania. (D. c. n.).



BIULETYN METEOROLOGICZNY. — BULLETIN MÉTÉOROLOGIQUE.

O przebiegu pogody w m. kwietniu 1924 r. Résumé climatologique du mois d'Avril 1924.

W pierwszych dniach miesiąca kwietnia 1924 r. Polska była pod wpływem niżu, zalegającego Europę południową. Panowała u nas wskutek tego pogoda chmurna i chłodna, choć bez znacniejszych opadów. Około dnia 5 go nastąpiła pewna poprawa stanu pogody pod wpływem wyżu barometrycznego, powstałego nad morzem Czarnem, lecz z krótkotrwałem i niewielkiem zaledwie ociepleniem. W kilka dni jednak miejsce tego obszaru zajął znowu niż z mgłą, opadami (miejscami śnieg dość obfity) i wiatrami północnymi, a za nim nadciągnął szereg innych, które ustaliły na dłuższy czas panowanie pogody pochmurnej, dość wilgotnej i w dalszym ciągu chłodnej. Po krótkotrwałem wypogodzeniu w dniu 19-ym następne dni były szczególnie dżdżyste i wietrzne i tworzyły kilkodniowy okres typowej szarugi wiosennej. Od połowy trzeciej dziesięciodniówki kwietnia pogoda była nieco spokojniejsza i cieplejsza, lecz niemniej pochmurna. Drobne opady notowano niemal codziennie do końca miesiąca. W ciągu kwietnia było wogóle tylko kilka dni bez opadów (koniec pierwszej dziesięciodniówki); przez kilka dni we wschodniej części kraju (około 13 go) leżała też świeżo utworzona szata śnieżna, gruba do 30 cm. (Białowieża) i panowały silniejsze przymrozki. Wogóle zupełnie wolne od przymrozków były tylko kilka ostatnich dni miesiąca, gdyż dopiero w dniu 29-ym nastąpiło większe ocieplenie (zbyt niskie jednak jeszcze, jak na tę porę roku), które doprowadziło miejscami do burz z objawami elektrycznymi i obfitych deszczów. Naogół kwiecień tegoroczny był chłodny (temperatury najwyższe wyjątkowo tylko przekroczyły 10° C., a średnia miesięczna była przeciętnie prawie o 2° zbyt niska), a opady, dość częste, były rozłożone dość równomiernie pod względem wysokości bezwzględnej, gdyż wahały się w granicach od 30 do 75 mm. dla różnych dorzeczy. Procentowa ilość opadów była nieco zbyt niska w zachodniej, środkowej i południowo-zachodniej części kraju, natomiast norma wieloletnia opadu przekroczoną została blisko o 35% nad Bałtykiem i na Pomorzu, o kilkanaście procentów w dorzeczach prawych dopływów Wisły (oprócz Wieprza), a najbardziej w dorzeczu Dniestru (50% nadmiaru opadów przy 75 mm bezwzględnej wysokości opadu).

¹⁾ I. c. fig. 23, 68 i 69.

Temperatury średnie i skrajne w m. kwietniu 1924 r. w Polsce. Températures moyennes et extrêmes en Pologne au mois d'Avril 1924.

Stacje	Temp. średn.	Max. (dn.)	Min. (dn.)	Stacje	Temp. średn.	Max. (dn.)	Min. (dn.)
Gdynia	3.5	16.9 (16)	- 6.2 (13)	Chrzanów *).	6.0	19.0 (15)	- 0.8 (5)
Nowy Port	4.0	17.4 (16)	- 3.0 (13)	Bielsko *).	6.6**)	17.9 (16)	- 1.7 (13)
Dźwierzno*).	4.3**)	14.9 (16)	- 0.3 (4)	Hermanice	6.4	18.3 (16)	- 6.3 (1)
Bydgoszcz	5.0	18.7 (16)	- 3.7 (13)	Istebna *).	4.3	14.4 (25)	- 4.4 (13)
Toruń	5.5	14.3 (29)	- 3.3 (5 i 13)	Zywiec.	5.9	21.7 (26)	-10.3 (13)
Podgórz-Toruń	4.9	19.4 (16)	- 5.0 (5)	Rychwałd *).	5.6	18.4 (16)	- 4.2 (13)
Kruszwica	5.3	18.2 (16)	- 1.9 (13 i 14)	Wadowice *)	6.5	18.0 (16)	- 2.8 (12)
Ostrowite	4.6	16.1 (16)	- 3.0 (13)	Kraków	6.7	18.6 (16)	- 8.1 (13)
Kisielnica	4.1	14.4 (9)	- 3.4 (4)	Rakowice	6.2	18.7 (16)	- 9.4 (13)
Białystok	4.6	14.0 (9)	- 5.6 (13)	Bohnia	7.0	22.1 (16)	- 6.4 (13)
Słojka	3.9	17.0 (29)	- 6.0 (1, 14 i 15)	Poronin *)	2.5	16.0 (26)	- 7.6 (6)
Płociczno	3.2	14.2 (17)	- 6.7 (1)	Zakopane	2.4	16.8 (26)	-13.8 (13)
Dzisna	2.2	12.7 (9)	- 3.0 (3)	Zazadnia *)	1.6	14.8 (25)	- 7.8 (1)
Wilno	3.3	13.8 (17)	- 5.6 (27)	Maniowy *)	5.1	19.6 (26)	- 4.5 (1)
Szejbakpole	3.6	14.5 (17)	- 4.0 (27)	Krynica *)	3.5	14.9 (27)	- 3.4 (5)
Rohotna*)	3.2	14.2 (17)	- 3.4 (1)	Tylicz *)	4.8	17.2 (27)	- 5.8 (13)
Białowieża	4.0	14.9 (17)	- 8.1 (15)	Banica *)	4.6	15.6 (26)	- 3.6 (6)
Mitki	4.9	15.4 (17)	- 2.8 (12)	Świniarsko	6.6	18.0 (14)	- 0.8 (12)
Przegaliny	5.0	17.0 (16)	- 6.4 (13)	Tarnów	6.7	20.4 (16)	- 5.6 (13)
Klajany *)	5.1**)	16.1 (9)	- 3.9 (13)	Hebdom	5.9	22.9 (16)	- 7.2 (13)
Sobieszyn	5.2	15.0 (16)	- 5.0 (13)	Sielec	6.0	15.6 (25)	- 1.9 (13)
Puławy	5.6	17.2 (16)	- 5.5 (13)	Kielce	5.2	17.3 (16)	- 4.6 (13)
Radom	5.6	16.2 (16)	- 2.7 (1)	Baranów *)	6.1	14.8 (28)	- 2.0 (13)
Czersk	5.1	17.0 (16)	- 3.5 (15)	Głogów *)	6.2	17.8 (16)	- 4.6 (13)
Siennica	5.4**)	16.4 (8)	- 5.9 (12)	Sędziszów*).	6.3	15.3 (9)	- 0.0 (12)
Wądolki Borowe	5.0	15.8 (16)	- 4.7 (5)	Brzyszczyki*).	6.3	14.3 (28)	- 0.5 (13)
Rembertów (A. K. D.)	5.7	18.6 (16)	- 4.5 (5)	Libusza	6.5	17.8 (16)	- 5.0 (13)
Warszawa (Mokotów)	5.6	16.8 (16)	- 2.1 (5)	Bukowsko*).	5.6	16.0 (26)	- 3.0 (13)
Warszawa (St. Pomp)	5.7	16.8 (16)	- 2.2 (13)	Sianki*)	2.7	13.6 (16)	- 5.2 (13)
Marymont	5.6	16.6 (16)	- 3.5 (13)	Sanok*)	6.2	19.4 (27)	- 1.8 (6)
Mory	5.1	16.3 (16)	- 2.6 (13)	Medyka*).	6.6	17.4 (16)	- 1.2 (15)
Joniec *)	4.8	16.2 (16)	- 1.6 (13)	Dolne*)	6.5	15.8 (16)	0.2 (1)
Łowicz	5.3	16.1 (16)	- 0.0 (4)	Jarosław*)	6.9	15.4 (28)	- 1.0 (13)
Gołębiew	5.4	17.7 (16)	- 2.4 (13)	Milków*)	6.1	16.0 (30)	- 2.0 (5)
Skierniewice	5.5	17.7 (16)	- 3.5 (13)	Tomaszów Lubelski	4.9	14.0 (30)	- 4.0 (1)
Końskie	5.9	18.2 (16)	- 1.5 (14)	Wojślawice *)	5.5	14.4 (16)	0.0 (3)
Piotrków *)	5.3	14.4 (9)	- 0.2 (5, 12, 13, 18 i 23)	Woła Dobrostańska*)	5.5	16.2 (17)	- 3.2 (6)
Łódź	5.5	19.4 (16)	- 3.5 (13)	Lwów (Politechnka)	5.7	16.2 (16)	- 0.8 (23)
Brześć Kujawski	5.2	18.6 (16)	- 3.0 (1)	Lwów (Lotnisko)	5.4	15.8 (17)	- 1.0 (6 i 13)
Ciechocinek	5.5	19.2 (16)	- 4.2 (13)	Lwów (Zielona) *)	6.2	15.4 (30)	- 0.4 (3)
Dobre	4.7	18.3 (16)	- 2.7 (13)	Orchowice *)	5.4	15.0 (17 i 27)	- 0.3 (6)
Włoszanowo	4.5	18.2 (16)	- 2.4 (13)	Nowe Siolo*)	6.4	15.1 (29)	- 0.1 (7)
Biedrusko	5.1	18.5 (16)	- 3.4 (12)	Porohy *)	5.6	17.0 (16)	- 1.4 (6)
Poznań (Ławica)	5.3	18.1 (16)	- 1.9 (8)	Doużyniec *)	3.1	18.2 (27)	- 7.0 (6)
Bojanowo*)	6.7**)	18.3 (15)	- 0.5 (8)	Kołomyja *)	6.8	16.3 (29)	0.2 (7)
Kalisz	6.1	19.1 (16)	- 2.0 (13)	Kiwercze*).	5.6	14.2 (8)	0.8 (3 i 13)
Sokolniki	5.6	18.5 (16)	- 2.3 (13)	Białokrynica	5.9	14.7 (17)	- 0.4 (5)
Olkusz	5.2	18.0 (16)	-11.7 (13)	Jazłowiec *)	5.8	18.3 (1)	- 1.6 (6)

*) Maximum i minimum według spostrzeżeń terminowych.

***) Średnia miesięczna obliczona z 30 dni.

Wysokości opadów i liczby dni z opadem w m. kwietniu 1924 r. Précipitations en mm et les nombres des jours avec précipitations au mois d'Avril 1924.

Stacje (pow.)	mm	Liczba dni	Stacje (pow.)	mm	Liczba dni	Stacje (pow.)	mm	Liczba dni
Dorzecze Wisły dolnej.			Gołotczyzna (ciechanowski).	36.0	13	Ciechocinek (nieszawski)	37.1	10
Strużewo (lipnowski)	22.9	11	Brześć Kujawski (włocławski)	30.9	14	Toruń (toruński)	35.3	11
Grodkowo (płocki)	21.0	10	Olchanowo	32.4	12	Dźwierzno	35.6	14
Lelice	32.8	12	Dobre „Cukr.“ (nieszawski)	25.0	13	Bydgoszcz II (bydgoski)	30.0	15
			Dobre	26.3	12	Solec	24.5	9

Stacje (pow.)	mm	Liczba dni	Stacje (pow.)	mm	Liczba dni	Stacje (pow.)	mm	Liczba dni
Chelmo (chełmiński) . . .	35.2	13	Urzędów	39.2	13	Suchodół	68.0	15
Trzebcz " . . .	39.9	14	Czysta-Dębina (krasnostaw.)	33.9	18	Świniarsko (nowosądecki)	26.2	8
Grudziądz (grudziądzki) . . .	41.6	12	Wojslawice (chełmiński) . . .	37.3	13	Łęgorozże	28.3	15
Babki " . . .	28.3	10				Tylicz	49.9	14
Wielka Kłonia (tucholski)	24.8	11	Dorzecze Wisły górnej.			Krynica	62.4	14
Janowo (gniewski) . . .	39.7	12	Przewłoka (sandomierski)	30.1	12	Łabowa	55.7	18
Ostrowie (rypiński) . . .	23.8	10	Gołoszyce (opatowski)	32.1	12	Barcice (starosądecki)	54.3	14
Jabłonowo (brodnicki)	35.1	12	Zapusta	44.9	14	Wielopole Skrz. (ropczycki)	38.8	16
Kościerzyna (kościerski)	48.0	16	Hebdom (miechowski)	17.6	5	Sędziśzów (ropczycki)	30.7	10
Wejherowo (wejherowo)	72.6	12	Jakubowice	34.1	13	Majdan Kolb. (kolbuszowski)	36.4	12
Dorzecze Bzury.			Radziemice	36.2	13	Zakopane (nowotarski)	39.9	20
Głęba (warszawski)	32.0	14	Skrzeszowice	45.7	14	Zazadnia	47.4	16
Pszczelina (błoński)	25.6	13	Stogniowice	24.3	11	Krościenko	50.4	15
Chlewnia	45.3	11	Szczepanowice	26.5	13	Poronin	38.1	15
Skierniewice (skierniewicki)	20.4	13	Wierzbno	57.5	8	Maniowy	38.3	13
Studzieniec	34.3	11	Kielce (kielecki)	40.6	16	Izdebki (brzozowski)	71.1	15
Łowicz (łowicki)	14.6	9	Św. Krzyż (kielecki)	46.1	18	Sanok (sanocki)	71.9	14
Krośniewice (kutnowski)	40.7	9	Ameljówka	55.8	13	Nowotaniec	82.8	14
Gołębiew	39.8	13	Snochowice	36.7	12	Bukowsko	41.5	9
Mieczysławów	36.0	15	Bartków	47.1	11	Medyka (przemyski)	74.2	12
Łaniaża	40.1	14	Stupia (włoszczowski)	37.4	14	Niżankowice	185.3	16
Strzelce	12.2	11	Czarnca	28.8	11	Jarosław (jarosławski)	65.9	15
Leśmierz (łęczycki)	26.4	10	Jędrzejów (jędrzejowski)	43.9	16	Laszki	56.7	14
Zgierz (łódzki)	35.3	13	Malogoszcz (jędrzejowski)	35.9	13	Chlopice	56.9	12
			Sielec (pińczowski)	28.9	8	Radymno	30.9	11
			Szczeglin (stopnicki)	41.0	12	Majdan Sien. (jarosławski)	45.2	13
Dorzecze Wisły środkowej (str. lewa).			Kwasów	35.3	12	Przeworsk (przeworski)	51.1	20
Warszawa St. Pomp (warsz.)	32.6	12	Ilża (iłżecki)	40.2	9	Dolne	55.9	12
Warszawa Filtry	35.4	13	Sołec	32.1	7	Niżatyce	55.2	15
Kaskada (warszawski)	27.2	12	Olkusz (olkuski)	28.7	18	Kańczuga	61.8	16
Ursynów	26.6	9	Ściborzycze	37.5	10	Teodorówka (biłgorajski)	58.4	14
Mory	33.4	11	Gołonóg (będziński)	8.8	7	Józefów	43.1	7
Grójec (grójecki)	22.3	10	Grodziec	38.9	8	Wola	32.4	11
Sielec	22.6	13	Sosnowiec	28.6	13	Orchowice (mościcki)	86.6	18
Trzyłatków	37.5	8	Bielsko (bielski)	147.8	13	Baranów (tarnobrzeski)	22.3	8
Kośmin	19.2	11	Skoczów (cieszyński)	33.0	14	Grodzisko (łańcucki)	64.4	19
Czersk	29.2	11	Żywiec (żywiecki)	27.2	18	Łętownia (niski)	32.3	13
Wólka Kozodawska (grój.)	31.4	13	Kamesznica	46.4	13	Cieszanów (cieszanowski)	93.0	14
Drozdy (grójecki)	32.6	9	Rychwałd	54.5	14	Milków	57.2	13
Radom (radomski)	32.8	15	Sucha	46.0	12	Sianki (turczański)	133.2	14
Końskie (konecki)	30.4	15	Zadziele	34.4	13	Kurniki	43.2	9
Skarżysko (konecki)	44.5	11	Porąbka (białski)	38.1	15	Bartne (gorlicki)	44.4	10
Szydłowiec (konecki)	34.4	15	Kęty	45.7	16	Lebieszka	52.2	15
Stupia Stara (opatowski)	34.1	12	Wadowice II (wadowicki)	44.8	17	Dorzecze Narwi		
Mitków	50.6	10	Wadowice IV	47.8	—	Joniec (płoński)	21.3	11
Iwaniska	66.0	8	Andrychów	31.9	15	Konary (płoński)	41.8	8
Denków	40.7	14	Grybów (grybowski)	50.7	11	Świętne	33.9	7
Gierczyce	32.1	12	Banica	45.5	10	Serock	34.2	9
Wąchock (iłżecki)	41.0	10	Szczucin (dąbrowski)	30.7	13	Maków (makowski)	50.3	13
Kruków (sandomierski)	28.6	11	Szczucin (nadm. rzek)	32.6	7	Krasnosielc	30.5	6
Piotrków (piotrkowski)	36.3	11	Tarnów (tarnowski)	52.3	17	Boguszyce (łomżyński)	42.2	12
Bujny	30.1	11	Głogów (rzeszowski)	40.8	16	Wądołki Borowe (łomżyński)	64.4	11
Uścżyn (piotrkowski)	30.4	10	Miłocin	43.6	14	Wierzbowo	43.3	12
Łęki Szlacheckie (piotrk.)	28.6	9	Budzów (myślenicki)	45.0	8	Romany (kolneński)	35.5	9
Garbatka (kozienicki)	28.2	11	Osielec	45.6	17	Kisielnica	32.0	8
			Raba Wyżna	34.8	11	Wojciechy (wys.-mazowiecki)	54.0	8
			Chrzanów (chrzanowski)	29.5	12	Krzyżewo	50.2	15
			Krzeszowice	22.7	8	Dobki	41.9	14
Dorzecze Wisły środkowej (str. prawa).			Kraków (krakowski)	46.2	13	Myszyniec (ostrołęcki)	14.1	9
Praga-Warszawa (warszawski)	36.1	12	Ujazd	32.4	14	Myszyniec Knob.	24.0	10
Gołędzinów	32.9	12	Dobczyce (wielicki)	18.7	12	Niechowo (szczuczynski)	42.2	8
Marcelin	24.7	5	Kamienica (limanowski)	10.7	5	Grajewo (szczuczynski)	38.8	10
Szamocin	23.5	10	Dobra	50.9	15	Białystok II (białostocki)	45.1	11
Siennica (mińsko-mazow.)	70.2	11	Bochnia IV (bocheński)	36.6	7	Białystok IV	56.5	11
Garwolin (garwoliński)	55.4	18	Bochnia	41.6	12	Supraśl	53.5	11
Sobieszyn	27.7	13	Lipnica Mur.	52.5	12	Stojka (sokólski)	65.0	11
Brzozowa	43.1	10	Trzciana	37.2	12	Sokółka	53.7	8
Puławy (puławski)	38.2	13	Grodkowice	44.7	11	Bielsk (bielski)	41.3	8
Gulów	26.7	5	Uszew	43.4	12	Cichawola	41.6	7
Kijany (lubartowski)	53.5	11	Zakliczyn (brzeski)	33.2	16	Dorzecze Bugu.		
Krasienin	48.0	8	Jasło (jasielski)	65.6	16	Rybieńko (pułtusi)	44.0	12
Czemierniki	45.7	8	Brzyszczyki	66.5	11	Janów Podl. (konstantynow.)	42.7	12
Gościeradów (janowski)	49.6	9	Olpiny	47.8	13	Czeberaki (konstantynowski)	44.2	12
			Krasna (krośnieński)	73.3	14			
			Tylawa	88.6	17			

Stacje (pow.)	mm.	Liczba dni	Stacje (pow.)	mm.	Liczba dni	Stacje (pow.)	mm.	Liczba dni
Przegaliny (radzyński) . . .	32.0	11	Sękowo (szamotulski) . . .	35.5	11	Dorzecze Niemna.		
Mikołajówka (białski) . . .	38.2	14	Ślupy (szubiński) . . .	31.8	12	Józefatowo-Hańcza (august.)	53.8	10
Piesza Wola. (włodawski) . . .	40.6	15	Szubin (szubiński) . . .	19.4	10	Suwałki Sem. (suwański) . . .	20.7	7
Liw (węgrowski) . . .	55.4	13	Kurcew (jarociński) . . .	42.5	9	Suwałki (Gimn.) " . . .	26.5	11
Chelm (chełmski) . . .	39.2	14	Krotoszyn (krotoszyński) . . .	34.7	9	Płocizno-Tartak " . . .	28.2	12
Okszów " . . .	41.7	13	Rogożewo (rawicki) . . .	26.2	11	Podżyliny " . . .	40.4	9
Majdan-Górny (tomasz.) . . .	51.0	12	Kruchowo (mogilnicki) . . .	26.1	14	Mosty (grodzieński) . . .	46.8	12
Dołubów (białski) . . .	46.4	8	Kołaczkowo (witkowski) . . .	50.2	8	Koniawa (lidzki) . . .	34.4	16
Nowosiółki (hrubieszowski) . . .	45.9	16	Żydowo " . . .	30.0	6	Szejbakpole " . . .	50.5	11
Matcze " . . .	43.2	15	Białcz (śmigieński) . . .	35.7	9	Koszelewo (nowogrodzki) . . .	50.9	13
Białowieża (białowieski) . . .	69.2	12	Gostyczyna (ostrowski) . . .	49.6	22	Stołpce (stołpecki) . . .	46.2	12
Włodzimierz (włodzimierski) . . .	54.5	14	Kruszwica (strzelnowski) . . .	20.3	10	Stonim (stonimski) . . .	49.8	11
Lwów Polif. (lwowski) . . .	75.7	19	Czarny Sad (koźmiński) . . .	26.0	6	Byteń " . . .	59.5	13
Lwów Zielona " . . .	76.1	19	Łubowice (gnieźnieński) . . .	40.5	8	Rohotna " . . .	71.7	13
Burszczowice " . . .	49.0	12	Gniezno St. " . . .	28.7	9	Kosów Poleski (kosowski) . . .	53.2	11
Dzibułki (żółkiewski) . . .	41.4	9	Gniezno " . . .	24.8	14	Nieśwież (nieświeski) . . .	67.6	11
Korcyn (sokalski) . . .	65.6	12	Braciszewo " . . .	24.7	7	Mir (nieświeski) . . .	27.1	7
Wojślawice " . . .	60.6	12	Włoszanowo (żniński) . . .	30.5	16	Szczekowszczyzna (wilejski) . . .	38.6	14
Podhorce (złoczowski) . . .	32.4	14	Cieszyn IV (cieszyński) . . .	43.1	15	Kołowicze " . . .	14.8	15
Dorzecze Odry.			Brenna " . . .	57.5	10	Małe Hramicze " . . .	37.9	15
Cienin (słupecki) . . .	20.1	10	Międzywiec " . . .	43.1	14	Ozmiana (oszmiański) . . .	29.5	9
Jabłonka " . . .	26.3	10	Istebna " . . .	50.3	17	Wilno (wileński) . . .	46.8	14
Kazimierz " . . .	28.7	11	Hermanice " . . .	49.5	18	Troki " . . .	38.8	13
Popielewo " . . .	24.0	12	Brzęczkowice (katowicki) . . .	39.0	13	Cerkliszki (święciański) . . .	32.4	11
Kalisz II (kaliski) . . .	36.2	10	Woźniki (lubliniecki) . . .	40.1	13	Hoduciszki " . . .	26.1	10
Lisków " . . .	42.2	16	Świerkłaniec (tarnogórski) . . .	34.7	8	Dorzecze Dźwiny.		
Stawiszyn (kaliski) . . .	35.9	14	Rydułtowy Górne (rybnicki) . . .	36.7	15	Dziszna (dziśnieński) . . .	56.2	14
Morawin " . . .	36.6	14	Rybnik " . . .	31.5	14	Kaliby (brastawski) . . .	46.4	9
Godziesze Wielkie (kaliski) . . .	39.2	13	Dorzecze Prutu.			Bałtyk.		
Złotniki Wielkie " . . .	33.1	10	Worochta (nadworniański) . . .	62.0	13	Nowy Port (gdański) . . .	27.9	13
Goślawice (koniński) . . .	26.9	7	Kołomyja (kołomyjski) . . .	54.0	15	Karwja " . . .	54.0	10
Niemysłów (turecki) . . .	38.4	14	Dorzecze Dniestru.			Oksywia " . . .	36.5	12
Zdrojki " . . .	47.9	15	Janów (gródecki) . . .	103.8	17	Gdynia " . . .	49.0	12
Sucha Dolna (tęczycki) . . .	24.6	10	Wola Dobrostańska (gródecki) . . .	73.1	20	Dniepr.		
Wola Łobudzka (sieradzi) . . .	40.7	12	Wołcze (turczański) . . .	86.7	19	Połowkowicze (nieświeski) . . .	53.3	13
Sokolniki (wieluński) . . .	23.3	14	Łomna " . . .	13.0	7	Kobryń (kobryński) . . .	49.7	10
Zytniów " . . .	22.7	8	Josefsberg (drohobycki) . . .	39.4	9	Derewna (kobryński) . . .	44.2	10
Dziadaki " . . .	24.7	10	Cebrów (tarnopolski) . . .	65.8	15	Poczapów " . . .	24.0	9
Cisów " . . .	24.1	7	Bolechów (doliniański) . . .	71.9	14	Łuniniec (łuniniecki) . . .	37.9	12
Widawa (łaski) . . .	33.5	14	Weldzisz " . . .	89.3	19	Wysock (stoliński) . . .	32.1	12
Piorunów " . . .	32.8	12	Suchodół " . . .	11.6	3	Maliszewa Duża (stoliński) . . .	46.2	16
Mogilno " . . .	96.5	8	Porohy (bohorodczański) . . .	57.6	16	Chinocze (sarnieński) . . .	40.4	11
Popów (turecki) . . .	31.8	13	Sołotwina " . . .	76.0	11	Dąbrowica " . . .	10.6	9
Łódź (łódzki) . . .	39.8	16	Niżniów (tłumacki) . . .	53.5	12	Dubeczno (kowelski) . . .	55.0	14
Strzelce Wielkie (radomsk.) . . .	16.7	9	Krasne (skałacki) . . .	63.0	16	Hołoby " . . .	50.9	10
Stobiecko Szlach. " . . .	28.8	15	Żalowiec (buczacki) . . .	102.5	11	Kiwerce (lucki) . . .	27.0	9
Częstochowa IV (częstoch.) . . .	52.5	12	Bereźnica (stryjski) . . .	71.3	18	Kołki " . . .	37.9	11
Matusy Wielkie " . . .	35.4	5	Sokołów " . . .	66.2	20	Równe (rówieński) . . .	35.9	12
Kościelec " . . .	22.4	13	Nowo Siolo (żydaczowski) . . .	53.3	15	Derażne " . . .	33.3	12
Zawiercie (będziński) . . .	34.8	11	Doużyniec (nadworniański) . . .	89.1	17	Aleksandrja " . . .	19.0	6
Bolechowo (wschod.-poznań.) . . .	35.3	10	Rafajłowa " . . .	67.0	15	Dubno (dubieński) . . .	11.5	3
Głuszyna " . . .	41.5	10	Synowódzko Wyżne (skolski) . . .	88.1	19	Lipszczyzna " . . .	42.0	13
Sobota (zachodn.) " . . .	12.0	6	Majampol (stanisławowski) . . .	53.3	12	Krzemieniec (krzemieniecki) . . .	50.1	16
Janikowo (inowrocławski) . . .	26.2	13	Trembowla (trembowelski) . . .	57.8	15	Białokrynica " . . .	28.8	9
Kościan (kościański) . . .	24.7	13	Założce (zborowski) . . .	51.1	16	Radziechów (radziechowski) . . .	47.1	16
Zbiełka (wagrowiecki) . . .	37.0	?	Kołodruby (rudzki) . . .	86.2	17			
Kolybki " . . .	61.5	17	Rohatyń (rohatyński) . . .	78.4	16			
Szamotuly (szamotulski) . . .	23.7	14						

Korespondencja Państwowego Instytutu Meteorologicznego. Correspondance de l'Institut Météorologique d'Etat.

Wędrownica ważki czteroplamej. (Migration de la Libellula quadrimaculata). Dnia 30 maja w Szczeglinie (dorzecze Wisła górna, powiat Stopnicki, województwo Kieleckie), odbywała się masowa wędrownica ważki czteroplamej (*Libellula quadrimaculata*). Przelot rozpoczął się o godzinie 8 rano i trwał do godz. 10 m. 30. Przeleciała cała chmura owadów, pasem mniej więcej kilometrowej szerokości w kierunku południowego zachodu. Przelot odbywał się w pogodę słoneczną, cichą.

E. Zwolski.



Ciekawy spadek gradu. (Curieuse chute de grêle).
D. 31 maja, około godz. 11 rano, od strony północo-zachodniej Krakowa ukazała się chmura o zabarwieniu różowawo niebieskim i bardzo szybko poczęła pokrywać niebo. O godz. 11 zaczęła się burza, która trwała mniej więcej pół godziny, z bardzo silnymi wyładowaniami elektrycznymi i z gradem bardzo obfitym. Grad padał 20 minut i pokrył ziemię nieprzerwaną warstwą, dochodzącą do 3 cm grubości. Pojedyncze gradzinki miały przeciętną wielkość i kształt przepołowionej, nieco spłaszczonej wiśni; z jednej strony były wypukłe, z drugiej nieco wklęsłe; kanty przy wklęsnięciu matowe, reszta przezroczysta (ob. fig. 16 w „Hist. natur. lodu“ A. B. Dobrowolskiego, str. 101).

Grad był tak silny, że pościął czubki gałęzi drzew na plantach krakowskich, pokrywając ścieżki gęsto liśćmi, posiekał wysokie trawy i pokrzywy w zaułkach wawelskich. Wypogodzenie nastąpiło bardzo szybko, ale pomimo słońca i wysokiej temperatury (zwykły spadek temperatury po gradzie, tym razem nie nastąpił), proces topnienia gradu zakończył się dopiero po jakich 45 minutach. U Kopca Kościuszki nie było śladów gradu, zboża były zupełnie proste, z wyjątkiem kilku miejsc, gdzie zboże leżało doszczętnie zbite. Te miejscowe gniazda gradu miały promień mniej więcej dwumetrowy. W zasiekach podmiejskich wogóle większego zniszczenia nie było.

Elżbieta Gabszewiczówna.

Przegląd literatury. — Revue de la littérature.

Nautisk-Meteorologisk Aarbog (Nautical-Meteorological Annual), 1923.
København 1924.

Obecne wydawnictwo stanowi dalszy ciąg analogicznych wydawnictw, poświęconych obserwacjom meteorologicznym morskim, które Duński Instytut Meteorologiczny ogłasza od roku 1880 w trzech serjach: Nautisk-Meteorologiske Jagttagelser 1880—1896, Nautisk-Meteorologisk Observationer 1897—1898 i Nautisk-Meteorologisk Aarbog 1899—1922. Ostatnie dwie serje są rozszerzone i nieco zmienione w porównaniu z pierwszą.

Materiał klimatologiczny i hydrologiczny, zawarty w nowym tomie, pochodzi z 12 duńskich pływających latarń morskich i 16 stacyj brzegowych. Oprócz obserwacyj z tych stacyj stałych, podany jest także obfity i niezmiernie cenny materiał zarówno z okrętów duńskich wojennych i handlowych, jak i z niektórych okrętów angielskich, norweskich i rosyjskich. Cały ten materiał został użyty na sporządzenie map synoptycznych stanu lodów w morzach arktycznych, map rozmieszczenia temperatury w powierzchniowych warstwach wody północnej części oceanu Atlantyckiego, codziennych map synoptycznych pogody dla tychże części oceanu Atlantyckiego, i wreszcie na pewne specjalne badania warunków atmosferycznych w północnym Atlantyku.

Nowy tom zawiera przede wszystkim dane o stanie lodów na wodach duńskich w ciągu zimy 1922—1923. Wiadomości te opracowane są przez kapitana marynarki Speerschneidera. Przegląd ogólny uzupełnia 7 tablic, a mianowicie: 1) średnie temperatury powietrza na 7 duńskich stacyjach podczas zimy 1922—1923, oraz odchylenia tych temperatur od normalnej; 2) okresy mroźne i dni mroźne w ciągu tejże zimy na tychże 7 stacyjach; dla każdej stacyj zestawione są dane według trzech rubryk: a) długość okresu mroźnego, b) liczba dni z temperaturą średnią niższą od 0° i c) ogólna suma chłodu, wyprowadzona z temperatury średniej okresu mroźnego i liczby dni w tym okresie; 3) temperatury średnie i słoność wody o godz. 8 rano podczas tejże zimy 1922—1923; temperatury

te są podane dekadami dla czterech miesięcy (grudzień—marzec) na 15 stacjach; 4) wykaz stacji, prowadzących spostrzeżenia nad lodem; 5) dane o stanie lodu w warunkach nawigacji; w tablicy tej podane są dla każdej stacji liczby dni, podczas których zauważono lód o określonym charakterze i kiedy żegluga była w większym lub mniejszym stopniu utrudnioną. Poza to podane są liczby dni z lodem, pierwsze i ostatnie obserwacje lodu oraz największe grubości lodu w centymetrach; 6) wykaz dni, w ciągu których latarnie były wskutek obecności lodu ściągnięte i potem znów postawione wraz z ogólną liczbą dni, w ciągu których latarnie wskutek tego nie były czynne, i porównanie tych danych z danymi z zim poprzednich, poczynając od r. 1879; i wreszcie 7) porównanie liczby dni z lodem podczas różnych zim (1906/07—1922/23) dla różnych obszarów wodnych.

Wobec tego, że Polska posiada obecnie swoje wybrzeże morskie, i w przyszłości trzeba będzie prowadzić spostrzeżenia na wodach przyległych, pożądanem byłoby uzgadniać te obserwacje z podobnymi obserwacjami Instytutów zachodnich. Dla tego też trzeba nieco dłużej zatrzymać się nad tablicą V, dotyczącą charakteru lodu i warunków żeglugi w związku ze stanem lodów.

Stan lodów był zaznaczony w sposób następujący:

a) Morze jest wolne od lodów.

b) *Brash and pancake ice* (*Lös Sjøp-og Kvadder-Is*) — lód jak papka, jak kasza i lód jak „bliny”.

Brash ice nazywa się masę, składającą się ze śniegu i wody lub bardzo małych kryształów lodu, które jeszcze nie są zrosnięte jedne z drugimi.

Pancake ice nazywa się niewielkie, w ogóle okrągłe i płaskie płytki lodu, lub niewielkie kawałki; taki lód może utworzyć się na danym miejscu, ale może też być przyniesionym przez wiatr lub prąd; często *pancake ice* zjawia się jednocześnie z *brash ice*.

e) *Packed brash and pancake ice* (*Sammenpakket Sjøp-og Kvadder-Is*) nazywa się powyższe dwie postaci lodu, gdy są zgęszczone w mętną masę, względnie zbitą, znacznej grubości, pod wpływem wiatru, prądu lub jakiegokolwiek przeszkody.

c) *Open ice* (*Spredt Driv-Is*) — właściwy lód — przedstawia ruch płaskich płyt (*ice flakes*) lub pagórków lodowych (*hummok ice*), rozsianych po wodzie na znaczniejszych przestrzeniach.

k) *Drift ice* (*Driv-Is*) — lód podobny do poprzedniego przedstawia ruch płaskich płyt lub pagórków lodowych, rozsianych po wodzie na mniejszych przestrzeniach.

f) *Heavy drift ice* (*Svaer Driv-Is*) — lód podobny do poprzedniego: ciężkie płyty lodowe lub pagórki, płynące gęstą, nieprzerwaną masą.

i) *Pack* (*Pak-Is*) — nagromadzenie lodu: ciężkie płyty lodowe, zbite w spójne masy przez wiatr, prąd lub, co zdarza się najczęściej, wskutek zwięzienia łożyska.

h) *Screw ice* (*Skrue-Is*) oznacza ruch nieprzerwanego pola lodu, podczas którego ciężkie płyty naciskają jedne na drugie lub na brzeg. Gdy takie pole lodu stanie bez ruchu, będzie to właśnie *pack-ice*.

d) *Thin fixed ice* (*Tynd Fast-Is*): spójny lód cienki, nieruchomy, zwykle przymarzły do lądu.

g) *Heavy fixed ice* (*Svaer Fast-Is*): spójny lód gruby, nieruchomy, zwykle przymarzły do lądu.

Warunki żeglugi były notowane w taki sposób:

n) odbywa się bez przeszkód;

o) jest utrudniona dla żaglowców;

p) wogóle utrudniona; bez pomocy holowników niemożliwa dla żaglowców;

q) przerwana dla żaglowców;

r) możliwa tylko dla mocnych statków parowych;

s) niemożliwa bez pomocy lodołomów;

t) zupełnie przerwana;

u) w cieśninach odbywa się przy pomocy lodołomów.

Następny rozdział rozpatruje stan lodów w morzach arktycznych w r. 1923. Dokładne i szczegółowe dane o stanie obszarów podbiegunowych mają znaczenie nie tylko praktyczne, t. j. w stosunku do wyjaśnienia warunków nawigacji w morzach arktycznych, lecz i teoretyczne, — dla badania ogólnych warunków fizycznych kuli ziemskiej; dla dalszego postępu geografji, meteorologji, hidrografji i biologji. Coroczne ogłaszanie wiadomości o stanie lodów na obszarze podbiegunowym polecone zostało Duńskiemu Instytutowi Meteorologicznemu przez Międzynarodowy Zjazd Geograficzny w Berlinie w r. 1899, gdzie jednogłośnie przyjęto następującą uchwałę:

„Uznając wielkie naukowe i praktyczne znaczenie wiadomości o corocznym rozkładzie, charakterze i ilości lodu pochodzenia podbiegunowego, Zjazd zwraca się z usilnym wezwaniem do instytutów hydrograficznych i meteorologicznych tych państw, których okręty pływają po morzach, gdzie napotyka się lód podbiegunowy, o zbieranie na podstawie międzynarodowego współprawnictwa możliwie wyczerpujących wiadomości o lodzie, i o przesyłanie wszystkich tych danych do jednego centralnego Instytutu — ażeby cały ten materiał mógł otrzymać opracowanie jednolite. Rozpatrzywszy istniejące już w tym kierunku prace, Zjazd oświadcza, że najlepiej, jako centralny Instytut dla zbierania i opracowania wiadomości, dotyczących stanu lodów na morzach arktycznych, nadawał by się Instytut Duński w Kopenhadze, — i uprasza inne Instytuty, ażeby zwróciły się do kapitanów statków wojennych i handlowych o komunikowanie danych o napotykanym lodzie, i ażeby dostarczyły statkom instrukcyj, które będą rozesłane do tych Instytutów przez Duński Instytut Meteorologiczny”.

By móc wykonać przyjęty na siebie obowiązek podawania najdokładniejszych wiadomości o stanie lodów na morzach arktycznych, Duński Instytut Meteorologiczny ze swojej strony zwraca się z usilną prośbą do osób, pływających na tych morzach, zwłaszcza do kapitanów statków, o zbieranie wszelkich danych o lodzie i o przesłanie takowych do Instytutu.

Rozdział „O stanie lodów na morzach arktycznych w r. 1923”, umieszczony w tym tomie, został ułożony na podstawie danych, otrzymanych od Zarządu kolonij w Grenlandji, od Instytutu Meteorologicznego w Norwegji, od Meteorological Office w Londynie, od Departamentu Hydrograficznego w Petersburgu, od Hydrografic Office w Waszyngtonie, od Branch Hydrografic Office w San Francisco, od Geofizycznego Instytutu w Tromsö i od całego szeregu osób.

W rozdziale są podane ogólne wyciągi i szczegółowe wykazy stanu wód, otaczających Nową Ziemię i Spitzbergen, na morzu Barentsa, na morzach Białem i Grenlandzkim, w cieśninie Duńskiej i wodach omywających Islandję, w północnych obszarach Atlantyku i w pobliżu Labradoru, w cieśninie Davisa, w zatoce Baffina, w zatoce Smitha, w cieśninie Hudsona i koło wysp, położonych nad północ od Kanady, wreszcie na morzach Beringa, Beauforta i Podbiegunowem.

Do rozdziału dodany został szereg map (od kwietnia do sierpnia), na których poglądowo są przedstawione granice rozmieszczenia lodu w morzach podbiegunowych, jak również jego charakter.

Pozatem w nowym tomie są podane miesięczne mapy synoptyczne rozkładu temperatury w górnych warstwach wody w Atlantyku na północ od 50° szerokości północnej wraz ze średnimi izotermami, i wreszcie codzienne spostrzeżenia meteorologiczne morskie, dokonane na 12 latarniach pływających i 16 stacjach brzegowych. Spostrzeżenia na latarniach pływających były prowadzone 6 razy na dobę. Te spostrzeżenia, charakteru częściowo klimatologicznego, częściowo hydrologicznego, dotyczą szybkości i kierunku wiatru, szybkości i kierunku prądów morskich, zachmurzenia, stanu pogody i temperatury powietrza. Oprócz tego o godz. 8 rano były dokonywane pomiary temperatury i słoności (w ‰) wody na głębokości 0, 5, 10, 15, 20 i 30 metrów. Słoność wody wyznaczała się za pomocą zwykłych szklanych areometrów, obliczenia zaś wykonywały się na podstawie tablic Marcina Knudsena. W uwagach zaznaczone są: postać opadów i zmiany w prądach. Na stacjach, położonych na brzegu, o godz. 8 zrana robiono pomiary temperatury i słoności wody tylko na powierzchni. W końcu tomu są podane przeciętne z obserwacyj.

Podkreślić wypada niezwykłą szybkość w opracowaniu i wydaniu spostrzeżeń. Ku początkowi wiosny 1924 r. został wydany drukiem cały materiał, dotyczący 1923 roku. Książka ślicznie wydana, w dwóch językach (duńskim i angielskim), na dobrym papierze, wyraźnym drukiem.

W. Niebrzydowski.

Bibliografja. — Bibliographie.

Nowe książki i wydawnictwa perjodyczne, które weszły do biblioteki P. I. M. w maju 1924 r.

Wydawnictwa perjodyczne.

Rocznik astronomiczny Obserwatorium Krakowskiego na 1924 rok. Tom III, Kraków 1924.
Czasopismo geograficzne. Tom II, zeszyt 4, Łódź 1924.

- Rocznik hydrograficzny* 1913, 1916, 1917, 1918, 1922 — dorzecze Wisły; 1921 — dorzecze Dniestru; 1922 — dorzecze Odry.
- Wiadomości statystyczne Głównego Urzędu Statystycznego* 1924, №№ 8, 9 i 10.
- Orle loty* 1924, № 2.
- Polski przegląd kartograficzny*. Grudzień 1923, № 4; marzec 1924, № 5.
- Gazeta Cukrownicza* 1924, №№ 15/16, 17/18.
- Gazeta Rolnicza* 1924, №№ 18, 19, 20, 21.
- Měsíční zpráva hydrologická. Bulletin hydrologique mensuel*. Praha I. 1924, № 1.
- Wetterbericht der Deutschen Seewarte* 1924, 1—15 V.
- Das Wetter* 1924, № 1/2 Januar—Februar.
- Meteorologische Zeitschrift* Heft 5, Mai 1924.
- Annalen der Hydrographie und Maritimen Meteorologie* 1924, Heft V.
- Einführung in die theoretische Physik*, von Dr. Clemens Schaefer. Band I. Berlin 1922.
- Jahrbuch des hydrographischen Zentralbureaus*. Wien 1912, № 11. Das Odergebiet in Mähren und Schlesien; № 12—Das Weischel-Gebiet; № 13 — Das Dniestr und Dniepr-Gebiet.
- Revue générale des Sciences pures et appliquées* 1924, № 7—15 IV, № 8—30 IV, № 9—15 V.
- Bulletin de l'Observatoire de Lyon* 1922, № 11, 1923 № 8.
- Bulletin quotidien des renseignements de l'Office National Météor. de France* 1924, №№ 225—238.
- Bulletin quotidien d'études de l'Office Nation. Météor. de France* 1924, №№ 224—237.
- Annuaire de l'Institut Physique du Globe* 1922, 2 e partie. Sismologie 1923.
- Revue internationale de renseignements agricoles*. 1924 Janvier—Mars, Rome.
- Résumé mensuel des observations des stations météorologique de Grèce*. Juin 1923.
- Buletinul lunar. Institutul météorologic central al Romaniei*. 1923, №№ 7—12.
- Bollettino bimensuale*. Vol. XLIV, № 4—6, Aprile—Ginguo 1924, Mondovi.
- Bollettino mensile*. Dicembre 1923. Ufficio idrografico del magistrato alle Acque—Venezia.
- Bollettino giornaliero dell Ufficio idrografico del R. Magistrato alle Acque Venezia* 13—16 V. 1924.
- Maud-Expeditionens videnskabelige arbeide 1918—1919 og nogen av dets resultater* H. U. Sverdrup. 1922.
- Det Norske Meteorologiske Institut*. Copy of working chart 1—16 V. 1924.
- Årsbok* 5, 1923. I. Manadsöversikt över väderlek och vattentillgång. Stockholm 1924.
- Regenwaarnemingen in Nederlandsch — Indie*, 1922.
- Weekly weather report of the Meteorological Office*. London 1924, №№ 17, 18, 19, 20.
- Quarterly Journal of the Royal Meteorological Society*. London, April 1924, Vol. 50, № 210.
- Monthly weather report of the Meteorological Office*. 1924, Vol. 41, № 3.
- The monthly weather report for the year 1922*. London, 1924. M. O. 250 b.
- Daily Weather Report of the Meteorological Office. International section*. London 1924, 1—30 April.
- Daily Weather Report of the Meteorological Office. British section*. London 1924, 1—30 April.
- Daily Weather Report of the Meteorological Office. Upper Air Supplement*. London 1924, 1—30 April.
- Manual of Meteorology*. Part IV. The relation of the wind to the distribution of barometrie.
By Sir N. Shaw. Cambridge 1919.
- Bulletin of the American Meteorological Society*. 1924 April.
- A preliminary abstract of statistict of common carriers for the year ended december 31, 1922*.
Washington.
- Weather crops and markets published weekly by the U. S. Department of Agriculture*. 1923 Vol. 4,
№№ 6—16.
- Climatological data for the United States by sections*. Vol. X, №№ 3, 4, 5. 1923.
- Monthly Weather Review* 1923 Vol. 51, №№ 5, 6, 7; Vol. 52, № 2, 1924. Washington.
- Monthly Weather Review*. Supplement № 23. Washington 1923.
- Daily weather map*. U. S. Department of Agriculture, Weather Bureau. Second Edition 1—30. XI,
1—31 XII. 1923.
- The Memoirs of the Imperial Marine Observatory*. Kobe, Japon. Vol. I, № 3.

K s i a ż k i.

J. Rouch. *L'atmosphère et la prévision du temps*. Paris 1923.

Morze Baltyckie



ANTONI BOLESŁAW DOBROWOLSKI.

Zagadnienie ruchu powietrza i wody po nierównościach gruntu.

(Zagadnienie zasp i wydm, namulisk i mielizn; zagadnienia wiatru halnego, chmur górskich i linji śnieżnej).

Streszczenie artykułu w Wiadomościach Meteorologicznych, Nr. 5 i 6, Warszawa 1924.

Problème du mouvement de l'air et de l'eau sur des accidents du sol.

(Problème des dunes et des bancs de sable; problème du föhn, des nuages de montagnes et de la ligne de neige).

Résumé de l'article inséré dans la Revue Météorologique, Nr. 5 et 6, Varsovie 1924.

Wydane z zasiłku Wydziału Nauki Ministerstwa Wyznań Religijnych i Oświecenia Publicznego.

WYDAWCA: WYDZIAŁ WYDAWNICZY

Instytut Techniczny - wydobywa i przetwarza surowce

Instytut Techniczny - wydobywa i przetwarza surowce

Instytut Techniczny - wydobywa i przetwarza surowce

Instytut Techniczny - wydobywa i przetwarza surowce

Instytut Techniczny - wydobywa i przetwarza surowce

Instytut Techniczny - wydobywa i przetwarza surowce

ANTONI BOLESŁAW DOBROWOLSKI.

Problème du mouvement de l'air et de l'eau sur des accidents du sol.

(Problème des dunes et des bancs de sable; problèmes du föhn, des nuages de montagnes et de la ligne de neige).

Résumé de l'article inséré dans la Revue Météorologique, Nr. 5 et 6, Varsovie 1924.

Il y a un nombre de phénomènes terrestres, importants et très répandus, lesquels sont liés au mouvement de l'eau, mais surtout au mouvement de l'air, sur des accidents du sol. Ce sont, dans le domaine d'hydrologie, les bancs de sable fixes, produits par des accidents du fond, de même que les bancs errants, ceux-ci devenant eux-mêmes, au moment même de leur apparition, des obstacles s'opposant au courant. Ce sont, dans le domaine de météorologie et de géographie physique, tout d'abord les dunes de sable et de neige, „forcées“ autant que „libres“, homologues de bancs de sable fixes et de bancs de sable errants; ensuite, la circulation de l'air dans les montagnes, et tout particulièrement, les phénomènes du föhn et les nuages de montagnes, fixes et errants; enfin, les variations locales de la ligne de neige, importantes surtout dans les pays polaires et subpolaires où la persistance ou la disparition de la neige d'été paraît dépendre essentiellement des phénomènes locaux d'accumulation ou de déflation, ceux-ci dépendant à leur tour du relief du terrain.

Pour expliquer tous ces phénomènes, il faut, *tout d'abord*, résoudre le problème d'hydrodynamique suivant: *étant donné un obstacle (ou un groupe d'obstacles) lié à un support (p. ex. à un plan solide), déterminer la forme du mouvement du fluide (la déformation du courant) autour de cet obstacle.*

Or ce problème n'a pas même été posé par l'hydrodynamique. Certains géographes s'en étaient occupés pour expliquer la formation des dunes, et au moment actuel, on étudie, dans les sphères militaires, l'influence des accidents du sol sur le vent, en vue de la guerre à gaz, en même temps que dans le monde d'aéronautes on tache de calculer la hauteur jusqu'à laquelle s'étend la perturbation causée par des montagnes. Mais ce ne sont là que de purs tâtonnements empiriques.

C'est qu'un *autre* problème intéressait les savants autant que les praticiens: problème du mouvement d'un fluide autour d'un obstacle *libre* (non lié à un support), autrement dit, problème du mouvement d'un corps au sein d'un fluide. Il s'agissait là de projectiles, d'avions, de sous-marins.

La solution de cet autre problème se trouve déjà bien avancée, au point de vue théorique autant qu'au point de vue expérimental, surtout depuis que les travaux de Prandtl et de Joukowski viennent d'établir, pour les fluides réels (visqueux), la notion de la couche superficielle (couche tourbillonnaire) et celle du décollement; seulement, comme on s'intéressait principalement, sinon exclusivement, de la *résistance*, le côté morphologique de la question (forme du mouvement—distribution des directions et des vitesses autour de l'obstacle) restait plutôt négligé.

Or, avant d'aborder le problème qui nous occupe ici, il est nécessaire de nous rendre compte de ce qu'on sait, à l'heure actuelle, d'essentiel sur la forme du mouvement dans le cas d'un obstacle libre. C'est ce qui n'est pas facile: d'un côté, les résultats, dispersés dans des publications diverses, n'ont pas encore été l'objet d'un exposé synthétique; d'un autre côté, il reste encore plus d'une conclusion importante à tirer, plus d'une lacune essentielle à combler.

A. Obstacles libres (non liés à un support).

Pour classer les formes du mouvement des fluides réels (visqueux) autour des obstacles libres, l'auteur croit possible de distinguer, pour une forme donnée de l'obstacle, deux cas extrêmes liés entre eux par une chaîne de cas intermédiaires (zone de passage).

1) *Au-dessous* d'une certaine valeur du nombre de Reynolds ($\frac{va}{\nu}$), la physiologie du mouvement sera dominée par la *viscosité*. Il n'y aura pas de couche tourbillonnaire bien individualisée; il n'y aura donc ni décollement avec des tourbillons errants (à mouvement non permanent), ni même tourbillons fixes (à mouvement permanent), quelle que soit la forme de l'obstacle (courbure de son contour général). La résistance, purement de viscosité (résistance tangentielle), sera proportionnelle à la vitesse. Ce cas, jusqu'à présent encore purement théorique, et ne se rencontrant presque pas dans la nature, ne nous intéresse pas ici.

2) *Au-dessus* d'une certaine valeur du nombre de Reynolds, nous avons, dans le cas d'une courbure suffisamment forte (incompatible avec un système continu de lignes de courant), un décollement complet, c. à d. une traînée turbulente derrière l'obstacle („sillage“), composée de *tourbillons errants* à mouvement non permanent (fig. 1).

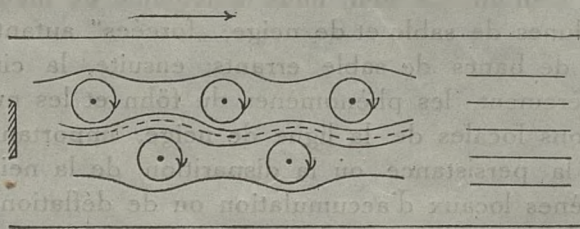
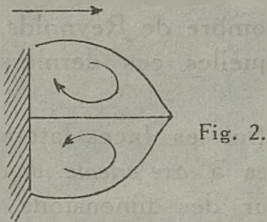


Fig. 1.

Ce cas, probablement le plus ordinaire, sera caractérisé: 1) par une mince couche tourbillonnaire, à tourbillons déliés roulant à la surface, couche que l'on peut supposer délimitée complètement du reste du fluide, et dont l'épaisseur est inversement proportionnelle à la vitesse; 2) par une résistance „de décollement“ (résistance dynamique), proportionnelle exactement aux carrés des vitesses. Si la courbure n'est pas suffisamment forte, c. à d. si le contour du corps est compatible avec un système continu de lignes de courant („surface de courant“, „corps de courant“), il n'y aura pas de décollement, et la résistance (tangentielle) sera proportionnelle, mais seulement d'une façon approximative, aux carrés des vitesses.

3) Entre ces deux formes du mouvement extrêmes — entre ces deux valeurs „critiques“, inférieure et supérieure, du nombre de Reynolds — il existe une large zone de transition, encore très mal étudiée: formes du mouvement intermédiaires. Exemple: un tourbillon fixe (à mouvement permanent) en arrière de l'obstacle, remplaçant le „sillage“ de tourbillons errants (fig. 2).



Cette classification des formes du mouvement ne vaut, chaque fois, que pour une forme donnée de l'obstacle. Les valeurs „critiques“, surtout la supérieure, du nombre de Reynolds ¹⁾, varient avec la forme du corps, et il est difficile d'exprimer cette dépendance d'une façon générale, et cela non seulement au point de vue quantitatif, mais même au point de vue qualitatif. Ainsi, une forte courbure du contour général facilite le décollement complet: celui-ci apparaît, dans ce cas, par une valeur du nombre de Reynolds plus basse que dans le cas d'une courbure plus faible, et la présence d'une arête tranchante (courbure maximum) au niveau de la plus grande section transversale de l'obstacle est la condition la plus favorable pour une apparition de tourbillons errants.

C'est justement le cas de tourbillons errants qui nous intéresse ici le plus. Dans mon „Histoire naturelle de la glace“ ²⁾ j'en ai donné une description succincte. J'insiste ici sur les points suivants:

1) La cause directe du décollement de la couche tourbillonnaire et de la transformation des tourbillons roulant à la surface de l'obstacle en des tourbillons libres errants, réside dans une diminution locale, brusque, de la vitesse. Ordinairement, cette diminution de la vitesse est due à une courbure trop forte du contour général de l'obstacle; mais elle peut être provoquée aussi par d'autres circonstances. (Voir, plus bas, B, I, 1).

2) Il en résulte que c'est en arrière de la plus grande section transversale qu'apparaît le décollement, et que le front (jusqu'à la plus grande section transversale) n'est pas exposé au décollement, quelle que soit la forme de ce front ³⁾.

Dans le cas d'un front concave, on prévoit que les lignes de courant passeront tout simplement à côté de la concavité laquelle formera alors un golfe mort.

3) Le décollement peut se faire non seulement sous forme de tourbillons isolés (un par un), mais encore en paquets de plusieurs tourbillons. Les tourbillons errants peuvent donc apparaître simples ou composés (voir B, I, 2, b).

4) La forme des tourbillons errants est celle du contour de la plus grande section transversale de l'obstacle; en général, ce seront donc des tourbillons annulaires. Dans le cas d'une mince plaque tangente ou d'un cylindre délié transversal, un anneau-tourbillon se réduira, pratiquement, à une paire de rouleaux parallèles.

¹⁾ Pour a (dimensions linéaires) et ν (viscosité cinématique) constants, ce serait donc „vitesse critique“.

²⁾ A. B. Dobrowolski, *Historja naturalna lodu* (Histoire naturelle de la glace), 8-o, pp. 940-XXVI, avec 340 figures. Varsovie 1923. Chap. XII (théorie des dunes).

³⁾ Cependant, des expériences faites avec des plaques obliques et transversales, paraissent montrer que dans certaines circonstances, connues encore insuffisamment, le front de ces plaques peut devenir siège d'un tourbillon fixe.

5) Il y a des cas d'un décollement incomplet apparaissant sous forme de *tourbillons fixes*:
a) *Tourbillon fixe postérieur*. En arrière de l'obstacle, dans les cas où, pour un fluide donné (pour une valeur de ν donnée), et pour une forme donnée de l'obstacle, les dimensions linéaires (a) de l'obstacle ou la vitesse (v) sont insuffisantes, on a, au lieu d'une traînée de tourbillons errants, un *tourbillon fixe postérieur*.

Il serait important de fixer, par des expériences appropriées, pour différentes formes d'obstacles, les valeurs limites du nombre de Reynolds, au-dessus desquelles on aurait des tourbillons errants, et au-dessous desquelles ces derniers céderaient la place à un tourbillon fixe postérieur.

b) „*Tourbillon fixe latéral*“. Sur les faces latérales des obstacles de forme prismatique ou cylindrique (cylindres ou prismes à *axe orienté dans le sens du mouvement*), on aura toujours, pour une vitesse appropriée et pour des dimensions appropriées, un tourbillon fixe latéral se développant *derrière les arêtes frontales* (fig. 3).

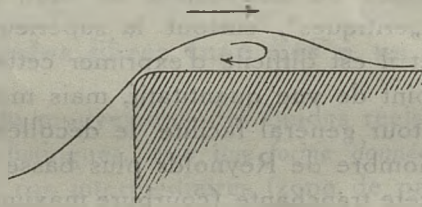


Fig. 3.

Ce tourbillon (qui n'a pas été signalé jusqu'ici)¹⁾ n'apparaîtra pas: 1) si le courant est trop faible (bien qu'il puisse être suffisant pour produire les tourbillons errants derrière les arêtes *postérieures*); 2) si l'obstacle (cylindre ou prisme) est trop peu allongé et le courant suffisamment fort (alors le décollement complet avec tourbillons errants apparaîtra derrière les arêtes *antérieures*, et les arêtes postérieures resteront inactives).

Il serait important de fixer, par des expériences appropriées, ces valeurs limites de la longueur de l'obstacle (pour différentes vitesses; pour différentes largeurs ou épaisseurs) et de la vitesse (pour différentes longueurs; pour différentes largeurs ou épaisseurs).

6) *Groupe d'obstacles* suffisamment rapprochés (le cas le plus simple: deux plaques transversales alignées transversalement). On prévoit l'augmentation locale de la vitesse entre deux obstacles suffisamment rapprochés, de même que la structure de ce „*courant d'intervalle*“.

Maintenant nous pouvons passer au problème qui nous intéresse ici: au problème du mouvement du fluide autour d'un obstacle, lorsque celui-ci se trouve lié à un support.

B. Obstacle lié à un support (p. ex. à un plan solide parallèle à la direction du mouvement).

La présence d'un support change les conditions: la couche tourbillonnaire couvrant la surface de l'obstacle apparaît liée à la couche tourbillonnaire couvrant la surface du support; d'ailleurs, la simple présence d'un support ne peut pas rester sans influence sur la forme du mouvement du fluide au voisinage de l'obstacle. On prévoit donc que celle-ci sera nécessairement différente de la forme du mouvement prévue pour le cas d'un obstacle libre. Pour l'étudier, il faudrait commencer par une série d'expériences tout-à-fait analogues à celles que l'on exécute pour étudier la forme du mouvement autour d'un obstacle libre. Pour une orientation prélimi-

¹⁾ Dans le dernier fascicule des travaux du laboratoire de Göttingue, je trouve une reproduction photographique du profil du mouvement du fluide autour d'un cylindre à axe longitudinal, où le profil du tourbillon fixe latéral apparaît assez nettement.

naire, il suffirait donc d'observer l'image (profil) du mouvement, dessinée p. ex. par la fumée dans un vent artificiel, ou par la poudre de Lycopode à la surface d'un liquide; tandis que pour une étude exacte du parcours des lignes de courant, on pourrait se servir de moulinets (pour tâtonner des axes des tourbillons) et du procédé de J o u k o w s k i (petits pavillons de coton, dont chaque suivant serait mis dans une direction indiquée par le précédent, à une certaine distance de celui-ci).

Des circonstances n'ayant pas permis à l'auteur d'exécuter de telles expériences, il a été réduit à se servir d'une méthode indirecte. Il essayait d'établir *a priori* les caractères essentiels de la morphologie du courant autour des obstacles liés à un support, en se basant sur les notions de la couche tourbillonnaire et du décollement. Pour vérifier ces déductions, il s'en est servi pour construire une théorie des dunes „forcées“ (dunes par obstacles), de même qu'une théorie des nuages de montagnes, fixes et errants, et il a comparé les prévisions de ces théories avec les faits observés.¹⁾

Une tendance de produire des tourbillons fixes et de fixer les tourbillons errants, voilà le trait caractéristique le plus général du cas dont il s'agit ici.

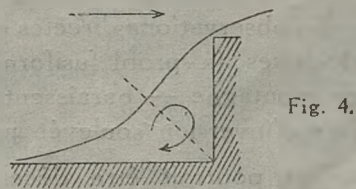
Les exemples les plus simples seront présentés par un courant parallèle au plan du support et par des obstacles à faces planes parallèles et perpendiculaires au plan du support.

Ces obstacles pourront être „positifs“ (élévations, objets se dressant au-dessus du niveau du support) ou „négatifs“ (chutes, excavations).

I. Obstacles „positifs“.

1) *Espace frontal.* Un courant parallèle au plan du support rencontre une paroi se dressant perpendiculairement à ce courant. A l'approche de cette paroi, le mouvement des tourbillons roulant à la surface du support (couche tourbillonnaire) subira un *ralentissement* plus ou moins fort (divergence plus ou moins forte des lignes de courant avant que celles-ci se mettent à converger vers les bords de la paroi). Or, un ralentissement suffisant amène—comme nous l'avons souligné plus haut—une tendance de décollement. Mais la présence d'un support et d'une paroi empêche cette tendance de se réaliser complètement, et au lieu d'une chaîne de tourbillons errants, on aura un tourbillon fixe, emprisonné dans l'espace formé, d'un côté, par l'angle dièdre entre le support et la paroi, d'un autre, par une enveloppe de lignes de courant s'appuyant sur les bords de la paroi.

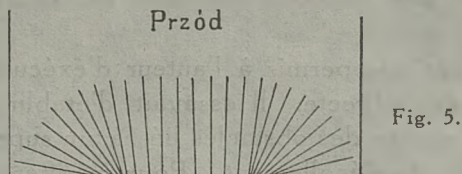
On prévoit donc, devant le front d'un obstacle „positif“, un *tourbillon fixe frontal*, à condition que la face frontale soit suffisamment abrupte.



En supposant le support horizontal, la paroi verticale, et en faisant abstraction des bords latéraux, droit et gauche, de la paroi, nous dirons que le tourbillon est *horizontal*. En prenant

¹⁾ Voir l'ouvrage précité de l'auteur „Historja naturalna lodu“, chap. XII.

en considération les bords latéraux de la paroi, nous pouvons prévoir qu'à droite et à gauche l'axe du tourbillon ira en s'infléchissant vers le plan du support, comme cela est montré schématiquement par la fig. 5.

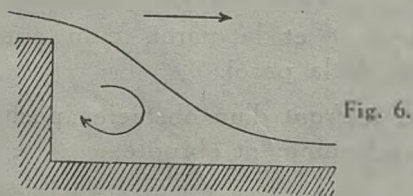


La présence de ce tourbillon est démontrée par des observations directes¹⁾ et indirectes²⁾

Il resterait à étudier, par des expériences appropriées, des détails de la distribution des vitesses de même que la forme et les dimensions du tourbillon et leurs variations en fonction de la vitesse du courant et de la forme, de l'inclinaison et des dimensions de la face frontale de l'obstacle.

2) *Espace postérieur.* Nous avons vu que pour une forme donnée de l'obstacle *libre* il existe une valeur limite du nombre de Reynolds, au-dessus de laquelle on a, derrière l'obstacle, un espace de décollement avec tourbillons errants, tandis qu'au-dessous de cette même valeur limite on n'a qu'un tourbillon fixe. Cela vaut aussi pour un obstacle lié à un support; l'apparition d'un tourbillon fixe sera ici, en comparaison avec le cas d'un obstacle libre, *favorisée*, justement à cause de la présence du support. Pour se rendre compte de la circulation de l'air dans les montagnes et des phénomènes qui en dépendent, il serait important de savoir fixer, expérimentalement, pour différentes formes simples, les valeurs limites du nombre de Reynolds, c. à d. les valeurs limites de la hauteur de l'obstacle pour des vitesses constantes, et les valeurs limites des vitesses pour des hauteurs constantes.

a) *Au-dessous* d'une certaine valeur du nombre de Reynolds (au-dessous d'une certaine hauteur de l'obstacle; au-dessous d'une certaine vitesse), on aura, derrière l'obstacle, un *tourbillon fixe postérieur*, homologue du tourbillon fixe frontal, tournant dans le même sens que celui-ci.



Son occurrence est démontrée par des observations directes et indirectes. Les „pavillons de vent“ (Windfahnen) — ces nuages lenticulaires (à profil fusiforme) se tenant immobiles pendant des bourrasques derrière un sommet de montagne — paraissent représenter la voûte du tourbillon fixe postérieur, touchant à la surface d'inversion soulevée jusqu'au niveau de condensation.

La présence de ce tourbillon pourrait être décelée, au pied de la face postérieure de l'obstacle, sur le plan du „support“, par un *courant opposé au courant général* (portion inférieure du tourbillon).

¹⁾ Neige et sable chassés par le vent, tournoyant devant des proéminences du sol.

²⁾ Dune de neige ou de sable, suivie d'une fosse éolique, devant des proéminences du sol. Formes de la déflation et de l'accumulation de la poudre de Lycopode, obtenues par Riabouchinsky sur un support noir portant différents obstacles dans un vent artificiel.

b) *Au-dessus* d'une certaine valeur du nombre de Reynolds (au-dessus d'une certaine hauteur de l'obstacle; au-dessus d'une certaine vitesse), on aura, derrière l'obstacle, un *espace de décollement* avec des *tourbillons errants*. Cet espace correspondrait à une moitié de l'espace de décollement apparaissant derrière un obstacle libre. Contrairement à ce que nous avons prévu pour le cas d'un tourbillon fixe, la présence de tourbillons errants pourrait être décelée, dans la couche inférieure adjacente au „support“, par un *faible courant dirigé dans le sens du courant général* (correspondant au „courant axial“ de l'espace de décollement dans le cas d'un obstacle libre (voir fig. 1). Un tourbillon détaché aurait ici généralement la forme de *fer-à-cheval* (correspondant à une moitié des tourbillons annulaires se détachant des obstacles libres), dont les branches latérales, droite et gauche, descendraient jusqu'au „support“ même. Les „pieds“ (un seul ou les deux) de ces fer-a-cheval pourraient être fixés, p. ex. par des inégalités de la surface du „support“ (surtout par des creux), et se transformer ainsi en tourbillons fixes, tandis que le reste pourrait se détacher des „pieds“ et continuer sa route comme tourbillons errants. Au cas où ils seraient suffisamment rapprochés l'un de l'autre, les deux „pieds“ fixés d'un tourbillon errant pourraient entrer en relations réciproques et former un système cohérent de tourbillons liés entre eux par un tourbillon intermédiaire horizontal (comme cela est montré schématiquement sur la fig. 7).

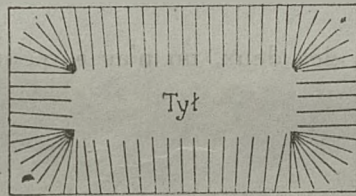


Fig. 7.

L'occurrence de tourbillons errants derrière des obstacles liés à un support, est démontrée par l'occurrence de *nuages errants* ayant la forme de nuages fixes mentionnés plus haut, mais se détachant, en files, des sommets des montagnes, un par un ou „par paquets“, et disparaissant à une certaine distance de leur lieu de naissance. Koch en a observé aux côtes du Groenland oriental, sans se rendre compte de leur signification, et l'auteur a reconnu le même type de nuages dans les nuages du mistral (nuages en „os de seiche“) à la Rivière française.

3) *Espace latéral*. Ne diffère essentiellement de l'espace latéral se développant autour d'un obstacle libre (zone de la plus grande densité des lignes de courant = zone de la plus grande vitesse). Derrière les arêtes antérieures d'un obstacle ayant des faces parallèles au courant (demiprismes, demicylindres) pourra apparaître le *tourbillon fixe latéral* (voir A, 5, b, fig. 3), dont la forme sera ici, en général, celle d'un fer-à-cheval, et le rôle dominant sera joué tantôt par les „jambes“, tantôt par la traverse de ce fer-à-cheval, suivant le rapport de la hauteur à la largeur. Ce tourbillon n'a pas encore été signalé; il est pourtant extrêmement commun. ¹⁾

II. Obstacles négatifs.

Soit un enfoncement local du „support“ sous forme d'une fosse transversale, à fond horizontal, à versants verticaux. Nous aurons ainsi une combinaison d'une chute (versant *antérieur*)

¹⁾ Au coin des rues (ou des bâtiments isolés), les passants ont toujours affaire, lorsque le vent donne dans la rue, à un tourbillon vertical développé derrière l'arête verticale de la maison. De même, au front des piliers des ponts des rivières, lorsque ces piliers ont une forme de cylindres allongés dans le sens du courant, on remarque, à droite et à gauche, derrière les arêtes frontales, droite et gauche, du pilier, deux dépressions en entonnoir, d'autant plus développées que le courant est plus fort, marquant deux tourbillons verticaux allant de la surface jusqu'au fond et pouvant être dangereux pour les nageurs. Enfin, là où un plateau descend brusquement vers la plaine basse d'où souffle le vent, les aéronautes doivent se garder du tourbillon horizontal développé sur le plateau même, derrière le bord du précipice.

et d'une élévation (versant *postérieur*), la situation de ces deux éléments étant ici inversé de celle qui se présente dans le cas d'un obstacle „positif“.

La forme du mouvement à une vitesse (v) donnée, pour un obstacle à forme donnée et pour un fluide à viscosité cinématique (ν) donnée, dépendra ici non seulement de la *profondeur* de la fosse, comme dans le cas précédent, mais encore de la *longueur* (considérée dans le sens du mouvement).

1) *Fosse suffisamment peu profonde.* a) *Fosse suffisamment longue.* On aura: aa) un *tourbillon fixe „postérieur“* derrière le versant *antérieur* de la fosse; bb) un *tourbillon fixe „frontal“* devant le versant *postérieur* de la fosse; cc) un enfoncement des lignes de courant (leur divergence, par conséquent diminution de la vitesse) vers le milieu de la fosse, entre ces deux tourbillons. (Fig. 8).

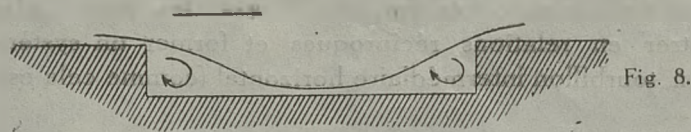


Fig. 8.

b) *Fosse suffisamment courte.* Au lieu des deux, on n'aura qu'un seul tourbillon fixe que j'appelle „*tourbillon de creux*“. (Fig. 9).

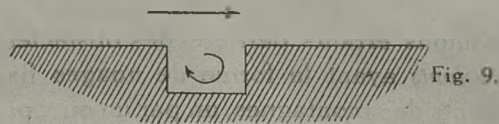


Fig. 9.

2) *Fosse suffisamment profonde.* a) *Fosse suffisamment longue.* On aura: aa) Un *espace de décollement* avec des *tourbillons errants* derrière le versant *antérieur*; bb) un *tourbillon fixe „frontal“* devant le versant *postérieur*; cc) un système de lignes de courant normales (horizontales) entre ces deux espaces. b) *Fosse suffisamment courte* (puits). Pas de tourbillons. Espace mort dans le puits. Lignes de courant normales au-dessus du puits.

Il serait important de savoir fixer, pour des fosses situées dans un courant aérien, les valeurs „critiques“ de la profondeur, de même que les valeurs „critiques“ de la longueur de la fosse. Quant à ces dernières, on aura ici, probablement, affaire non pas à des lignes de démarcation, mais à une *zone de passage* correspondant à des formes du mouvement intermédiaires entre a et b de 1, entre a et b de 2.

III. Groupements et combinaisons d'obstacles.

1. *Groupements d'obstacles suffisamment rapprochés l'un de l'autre.* Ce cas ne diffère pas, au fond, de celui d'un groupe d'obstacles libres. L'essentiel, ce sont ici les „*courants d'intervalle*“. (Voir plus haut, A, 6).

2. *Combinaisons d'obstacles agrégés* (ou pouvant être considérés comme tels). Ici appartiennent des obstacles dont la forme peut être considérée comme une agrégation de formes élémentaires.

Exemples: circulation de l'air dans les forêts, dans les villes, dans les montagnes; problème de la construction rationnelle de barrières contre la neige ou le sable chassés par le vent.

IV. Forme et grandeur de l'espace de perturbation.

La perturbation du courant, causée par un obstacle *libre* (non lié à un support), s'étend jusqu'à une certaine distance et occupe un espace clos délimité par une surface de séparation entre les lignes de courant parallèles et les lignes de courant déviées par l'obstacle. La grandeur et la forme de cet *espace de perturbation* dépendent, d'un côté, de la vitesse et de la nature du fluide (viscosité cinématique), de l'autre, des dimensions et de la forme de l'obstacle.

Dans le cas d'un obstacle *lié à un support*, la présence de celui-ci ne peut pas être sans influence sur la forme et sur la grandeur de l'espace de perturbation¹⁾. Cette influence serait difficile à déterminer a priori, et il faudrait commencer par une série d'expériences appropriées²⁾.

V. Résistance.

Dans les cas d'un obstacle *libre*, on a affaire (voir plus haut, pp. 1—2):

1) au-dessous de la valeur critique inférieure du nombre de Reynolds, à une résistance tangentielle que l'on appelle aussi „frottement superficiel“ et qui n'est autre chose qu'une pure résistance de viscosité, variant proportionnellement à la vitesse (ce cas ne nous intéresse pas ici);

2) au-dessus de la valeur critique supérieure du nombre de Reynolds, à une résistance variant proportionnellement aux carrés des vitesses — exactement (dans le cas de décollement de la couche tourbillonnaire, c. à d. dans le cas d'une courbure suffisante du contour général de l'obstacle: résistance dynamique appelé „résistance de décollement“), ou seulement approximativement (dans le cas où la couche tourbillonnaire ne se décolle pas de la surface de l'obstacle, c. à d. dans le cas d'une courbure suffisante: résistance tangentielle);

3) à une résistance variant proportionnellement aux puissances de la vitesse comprises entre 1 et 2, pour les cas se trouvant entre les deux cas extrêmes indiqués plus haut (c. à d. pour les valeurs du nombre de Reynolds intermédiaires).

Dans le cas d'un obstacle *lié à un support*, on aura, évidemment, affaire aux mêmes genres de résistance. Cependant, pour une forme donnée de l'obstacle, une valeur du nombre de Reynolds laquelle se montre „critique“ pour un obstacle libre, ne le sera pas exactement lorsque ce même obstacle sera lié à un support.

VI. Conclusion.

L'auteur n'a fait que de montrer et de souligner l'importance du problème du mouvement d'un fluide autour d'un obstacle lié à un support, pour une explication scientifique d'une foule de phénomènes terrestres importants et répandus, et d'indiquer le chemin pour résoudre ce problème fondamental. Il faudrait, tout d'abord, répéter, avec des obstacles liés à un support, des expériences que l'on fait avec des obstacles libres; seulement il serait nécessaire d'insister sur le côté *morphologique* du mouvement³⁾. Ensuite, on devrait compléter ces expériences par des

¹⁾ En particulier, on prévoit que les „formes de courant“, c. à d. les formes de l'obstacle adaptées aux lignes de courant en ce sens qu'elles excluraient la formation de tourbillons, errants autant que fixes (voir plus haut p. 2), ne seront pas identiques dans les deux cas: une forme qui se montre „forme de courant“ pour un obstacle libre, ne le sera pas nécessairement pour un obstacle lié à un support.

²⁾ Pour les aéronautes, il est important de savoir, d'une façon sûre et précise, jusqu'à quelle hauteur s'étend la perturbation du vent causée par une montagne donnée. Les formules que l'on propose ne sont suffisamment fondées ni au point de vue théorique, ni au point de vue expérimental.

³⁾ Riabouchinsky mettait dans le vent artificiel une plaque horizontale à surface noire, saupoudrée de poudre de Lycopode, sur laquelle il fixait des obstacles de différentes formes simples. Retirée du vent, la plaque montrait un dessin (jaune sur le noir) sous forme de lignes et de taches que Riabouchinsky prenait pour un dessin des lignes de courant, mais qui ne représentait, en réalité, que des dunes en miniature (sièges d'accumulation et de déflation). Et c'était à tort que Riabouchinsky croyait se rendre compte, au moyen de ces expériences, de l'image du mouvement autour d'un obstacle *libre*: il ignorait ainsi l'influence perturbatrice du plan du support sur lequel l'obstacle était fixé.

La morphologie du mouvement autour des obstacles non liés à un support n'ayant été étudiée suffisamment que dans le cas d'un obstacle sous forme d'un long cylindre transversal, il reste à déterminer la forme exacte du mouvement autour des plaques transversales, autour d'une sphère, autour d'un cylindre ou prisme longitudinal.

observations de ce qui se passe pour de grands obstacles (maisons isolées, tours, montagnes), en se servant d'une fumée froide (pour avoir une image générale du mouvement) et de ballons-sondes (pour déterminer la distribution des vitesses).

Alors seulement on aura un matériel suffisant pour une discussion théorique dont le but sera de pouvoir représenter les résultats expérimentaux comme conclusions tirées de la théorie, et de prévoir des phénomènes nouveaux.

Il est vrai que des phénomènes météorologiques se jouant dans les montagnes sont de nature non seulement mécanique, mais encore *thermique*. Cependant, pour en avoir une explication exacte, il faudra commencer par faire abstraction de la thermodynamique, c. à d. considérer les vents comme des courants isothermiques et ayant partout la même densité, et ne compliquer le problème qu'après l'avoir résolu comme un pur problème d'hydrodynamique.